

3/2025

Zpravodaj

Českého hydrometeorologického ústavu



Pobočka Ostrava

Obsah

Synoptická situace, charakter proudění a počasí	2
Teploty vzduchu	5
Srážky	9
Hydrologická situace	13
Povodí Odry	13
Povodí horní Moravy	16
Povodí Bečvy	18
Vyhodnocení stavu podzemních vod v březnu 2025	22
Mělké vrty	22
Prameny	24
Hluboké vrty	27
Kvalita ovzduší.....	28
Měření kvality ovzduší ve spolupráci se Zdravotním ústavem a Moravskoslezským krajem v roce 2024.....	34

Zpracovali: Ing. Daniel Hladký
 Mgr. Alena Kamínková
 Ing. Antonín Kohut
 Mgr. Vojtěch Umlauf
 RNDr. Vladimíra Volná, Ph.D.
 Ing. Veronika Šustková

Zpravodaj, vydává Český hydrometeorologický ústav, pobočka Ostrava, K Myslivně 3/2182, 708 00 Ostrava. Informace a údaje uvedené v tomto materiálu neprošly předepsanou kontrolou a autorizací, jedná se o operativní data. Zpravodaj má informativní charakter, nelze použít jako úřední dokument. Neprošlo jazykovou úpravou. Neprodejný výtisk.

Synoptická situace, charakter proudění a počasí

V březnu 2025 převažovala v prostoru Atlantik – Evropa meridionální cirkulace. Tento typ byl zaznamenán ve dvou třetinách dnů, zatímco zonální typ ve zbývajících třetině.

Po většinu první březnové dekády ovlivňovala počasí ve středoevropském prostoru rozsáhlá tlaková výše se středem nad západní, střední a později až jihovýchodní Evropou. Frontální zóna se prostírala nad Islandem, Norským mořem a Skandinávií, zatímco nad naším územím a jeho okolím setrvala teplá a suchá vzduchová hmota. Až ke konci období se v západní Evropě vytvořila tlaková níže, po jejíž přední straně do České republiky začal proudit vlhčí vzduch od jihozápadu.

Počasí první poloviny druhé březnové dekády bylo ve střední Evropě určováno tlakovou níží a s ní spojeným frontálním rozhraním oddělujícím teplý vzduch na jihu od studeného na severu kontinentu. Přibližně v polovině dekády se do středoevropského prostoru rozšířil okraj tlakové výše nad severozápadní Evropou. Ve druhé polovině dekády přešla přes naše území k jihu studená fronta a za ní k nám kolem tlakové výše nad Severním mořem přechodně proudil studený vzduch od severu. Tlaková výše se postupně přesouvala přes střední Evropu dále k jihovýchodu, až se v závěru druhé dekády naše území ocitlo na její zadní straně, po níž k nám proudil teplejší vzduch od jihozápadu až jihu.

Začátkem poslední březnové dekády se území České republiky nacházelo v teplém okrajovém proudění přední strany oblasti nízkého tlaku vzduchu nad jihozápadní až západní Evropou. Tato oblast se postupně rozšířila do celé střední Evropy a přinesla s sebou vlhčí vzduchovou hmotu. Začátkem druhé poloviny období se k nám od západu rozšířil výběžek vyššího tlaku vzduchu. Ten postupně slábnul a počasí v naší republice ovlivnila tlaková níže nad jižní Evropou. V závěru dekády přes Českou republiku nejprve přešel okludující frontální systém od severozápadu a poté do střední Evropy začal proudit mezi tlakovou výší nad západní a tlakovou níží nad východní Evropou chladnější a vlhčí vzduch od severu.

Moravskoslezský kraj

Podle předběžných výsledků byla průměrná měsíční teplota vzduchu v Moravskoslezském kraji 5,5 °C, což je o 2,8 °C vyšší hodnota než teplotní normál 1991–2020, měsíc březen byl v kraji hodnocen jako teplotně silně nadnormální. V Ostravě, Porubě byla průměrná měsíční teplota vzduchu 6,7 °C, což je tepleji oproti normálu 2,6 °C. Na Lysé hoře byla v březnu průměrná teplota vzduchu 1,2 °C (o 3,5 °C tepleji než normál). Nejvyšší průměrnou měsíční teplotu vzduchu v březnu zaznamenala stanice Slezská Ostrava (7,4 °C), druhá nejvyšší hodnota byla na stanici Bohumín (7,3 °C) a třetí nejvyšší průměrná teplota vzduchu byla naměřena na stanici Ostrava, Vítkovice, Penzion (7,2 °C). Průměrně nejchladněji bylo v březnu na Vysoké holi (−0,7 °C), dále na stanicích Lysá hora a Jelení studánka (1,2 °C). Třetí nejnižší průměrná teplota vzduchu byla v kraji změřena v Karlově Studánce (3,0 °C). V březnu byl nejteplejší 10. den měsíce, s průměrnou teplotou vzduchu v kraji 10,4 °C. Nejvyšší denní průměrná teplota vzduchu na stanici (14,5 °C) byla naměřena 9. března na stanici Ostravice, Bučací potok. Nejchladnějším dnem byl 18. březen, s průměrnou teplotou vzduchu v kraji −2,4 °C. Nejnižší denní průměrná teplota vzduchu na stanici byla zaznamenána v tento den na Vysoké Holi (−10,9 °C). Nejvyšší maximální teplota vzduchu, 22,3 °C, byla zaznamenána dne 6. března na stanici Šenov, Lapačka. Nejnižší hodnota maximální teploty vzduchu (11,0 °C) byla naměřena dne 9. března na stanici Jelení Studánka. Nejnižší minimální teplota vzduchu, −12,1 °C, byla změřena 18. března na stanici Jelení Studánka. Nejvyšší hodnota minimální teploty vzduchu, 10,0 °C, byla změřena dne 10. března na stanici Ropice. Nejnižší minimální přizemní

teplota vzduchu, $-14,6\text{ }^{\circ}\text{C}$, byla změřena 18. března na stanici Horní Lomná.

V MS kraji spadlo průměrně 50 mm srážek, což je 99 % normálu 1991–2020, měsíc březen byl srážkově normální. V Ostravě, Porubě jsme v březnu naměřili 48,8 mm srážek (121 % normálu). Na Lysé hoře jsme naměřili 69,1 mm, což odpovídá 72 % normálu a byl to nejvyšší měsíční úhrn srážek v kraji. Druhý nejvyšší úhrn zaznamenala stanice Bílá, Salajka (67,2 mm) a třetí nejvyšší stanice Frenštát pod Radhoštěm (66,5 mm). Nejméně srážek spadlo na stanicích Osoblaha (33,2 mm), Opava (33,7 mm) a Chuchelná a Karlovice (39,7 mm). Nejvyšší denní úhrn srážek, 24,3 mm, zaznamenala stanice Rýmařov dne 13. března.

Nejvíce nového sněhu v měsíci (23 cm) zaznamenala stanice Lysá hora, dále 6 cm nového sněhu napadlo na stanici Červená a 4 cm v Karlově Studánce. Nejvyšší denní úhrn zaznamenala stanice Lysá hora dne 14. března (9 cm). Nejvyšší hodnota celkové sněhové pokrývky v kraji (62 cm) byla naměřena 1. – 3. března na stanici Jelení studánka.

V kraji svítilo slunce průměrně 169,4 hodin. Nejvíce svítilo slunce na stanicích Rýmařov (192 hod.), Červená (178 hod.) a Krnov (175,9 hod.), nejméně na stanicích Jablunkov (147,1 hod.), Bohumín (149,6 hod.) a Frenštát pod Radhoštěm (157,7 hod.). Nejvyšší denní úhrn slunečního svitu, 12,1 hod., jsme zaznamenali na stanici Lysá hora ve dnech 20. března.

Z hlediska průměrných rychlostí větru na všech stanicích v kraji byl nejméně větrný den 10. března. Nejvyšší maximální rychlosti větru zaznamenala stanice Lysá hora ($24,1\text{ m}\cdot\text{s}^{-1}$ dne 10. března, $22,5\text{ m}\cdot\text{s}^{-1}$ dne 23. března) a Javorový ($21,7\text{ m}\cdot\text{s}^{-1}$ 10. března). V Ostravě, Porubě dosáhl vítr maximální rychlosti $14,0\text{ m}\cdot\text{s}^{-1}$ dne 10. března.

Olomoucký kraj

Olomoucký kraj s průměrnou měsíční teplotou vzduchu $5,4\text{ }^{\circ}\text{C}$ byl o $2,5\text{ }^{\circ}\text{C}$ teplejší než krajový normál 1991–2020. Měsíc březen byl v kraji klasifikován jako teplotně silně nadnormální měsíc. Olomouc měla průměrnou měsíční teplotu vzduchu $6,9\text{ }^{\circ}\text{C}$ (o $2,6\text{ }^{\circ}\text{C}$ tepleji než normál). V Šumperku jsme zaznamenali průměrnou měsíční teplotu vzduchu $5,0\text{ }^{\circ}\text{C}$ (o $2,0\text{ }^{\circ}\text{C}$ tepleji než normál) a na Šeráku byla v březnu průměrná teplota vzduchu $0,7\text{ }^{\circ}\text{C}$ (o $3,3\text{ }^{\circ}\text{C}$ tepleji než normál). Nejvyšší průměrná měsíční teplota vzduchu v kraji byla naměřena na stanici Paseka ($7,3\text{ }^{\circ}\text{C}$), druhá nejvyšší na stanici Šternberk ($7,1\text{ }^{\circ}\text{C}$) a třetí nejvyšší na stanici Javorník ($7,0\text{ }^{\circ}\text{C}$). Průměrně nejchladněji bylo v březnu na Malém Dědu ($0,1\text{ }^{\circ}\text{C}$). Druhá nejnižší průměrná teplota vzduchu byla zaznamenána na Šeráku ($0,7\text{ }^{\circ}\text{C}$). Na Paprsku byla zaznamenána třetí nejnižší průměrná teplota vzduchu ($2,5\text{ }^{\circ}\text{C}$). V březnu byl v kraji nejteplejší 29. den měsíce s průměrnou teplotou vzduchu v kraji $10,1\text{ }^{\circ}\text{C}$. Nejvyšší denní průměrná teplota vzduchu na stanici byla naměřena 9. března ve Zlatých horách ($14,2\text{ }^{\circ}\text{C}$). Nejchladnějším dnem byl 17. březen, s průměrnou teplotou vzduchu v kraji $-2,6\text{ }^{\circ}\text{C}$. Nejnižší hodnota denní průměrné teploty vzduchu ($-9,6\text{ }^{\circ}\text{C}$) byla naměřena tento den na Malém Dědu. Nejvyšší maximální teplota vzduchu, $20,8\text{ }^{\circ}\text{C}$, byla zaznamenána dne 8. března v Přerově. Nejnižší hodnota maximální teploty vzduchu ($9,9\text{ }^{\circ}\text{C}$) byla naměřena dne 7. března na Malém Dědu. Nejnižší minimální teplota vzduchu byla zaznamenána dne 18. března na stanici Švýcárna ($-12,5\text{ }^{\circ}\text{C}$). Nejvyšší hodnota minimální teploty vzduchu, $10,1\text{ }^{\circ}\text{C}$, byla naměřena dne 10. března na stanici Zlaté Hory. Nejnižší přízemní minimální teplota vzduchu ($-13,5\text{ }^{\circ}\text{C}$) byla změřena na stanici Šerák dne 18. března.

Srážek spadlo v kraji průměrně 42 mm, to je 88 % normálu 1991–2020 (srážkově normální měsíc). V Olomouci spadlo 46,8 mm, což je 157 % normálu, v Šumperku 30,2 mm (67 % normálu) a na Šeráku 46,4 mm (59 % normálu). Nejvyšší měsíční úhrn srážek v kraji zaznamenala stanice Potštát, Boškov (63,1 mm). Druhý nejvyšší zaznamenala stanice Švýcárna (58,4 mm) a třetí nejvyšší Medlov, Hlívce (50,4 mm). Nejnižší měsíční srážkový úhrn jsme zaznamenali na stanicích Hoštejn (24,0 mm), Javorník (26,6 mm) a Štítý (27,6 mm). Nejvyšší denní úhrn srážek, 28,3 mm, zaznamenala dne 13. března stanice Medlov, Hlívce.

Nejvíce nového sněhu v měsíci (25 cm) zaznamenala stanice Šerák a dále 8 cm nového sněhu napadlo na stanici Jeseník. Nejvyšší denní úhrn zaznamenala stanice Šerák dne 13. března (6 cm). Nejvyšší hodnota celkové sněhové pokrývky v kraji (85 cm) byla naměřena 1. a 2. března na Malém Dědu.

Slunce svítilo v kraji průměrně 186,1 hodin. V březnu slunce svítilo nejvíce na stanicích Šternberk (201,7 hod.), Dubicko (201,1 hod.) a Paseka (200,6 hod.). Naopak nejméně svítilo slunce na stanicích Šerák (159,1 hod.), Jeseník (166,6 hod.) a Javorník (177,8 hod.). Nejvyšší denní úhrn slunečního svitu jsme naměřili na stanici Šerák

dne 20. ledna, kdy slunce svítilo 11,8 hodin.

Z hlediska průměrných rychlostí větru na všech stanicích v kraji byl nejméně větrný den 15. března. Nejvyšší maximální rychlosti větru pak zaznamenaly stanice Šerák (21,0 m.s⁻¹ 10. března, 20,3 m.s⁻¹ 9. března) a Šumperk (19,0 m.s⁻¹ 17. března). V Olomouci dosáhl vítr maximální rychlosti 16,4 m.s⁻¹ dne 17. března.

Zlínský kraj

Ve Zlínském kraji byla průměrná teplota vzduchu v březnu 5,9 °C. Kraj byl o 2,7 °C teplejší než teplotní normál 1991–2020 pro měsíc březen (silně nadnormální měsíc). Ve Zlíně byla průměrná teplota vzduchu 6,7 °C (o 2,7 °C tepleji než normál), ve Valašském Meziříčí 6,3 °C (o 2,9 °C tepleji než normál) a na Marušce 5,7 °C (o 3,0 °C tepleji než normál). Průměrně nejtepleji bylo na stanici Kroměříž (7,2 °C). Druhá nejvyšší hodnota byla naměřena na stanicích Staré Město a Bystřice pod Hostýnem (7,1 °C) a třetí na stanici Bojkovice (6,9 °C). Průměrně nejchlaději (3,2 °C) bylo na stanici Velké Karlovice, Miloňov, dále ve Velkých Karlovicích a na Beneškách (4,1 °C) a na Kohútce (4,3 °C). Nejteplejší den byl 9. března s průměrnou denní teplotou vzduchu v kraji 11,2 °C. Nejvyšší denní průměrná teplota vzduchu na stanici (15,5 °C) byla naměřena tento den na stanici Bystřice pod Hostýnem. Nejchladějším dnem byl 18. březen s denní průměrnou teplotou vzduchu v kraji –2,5 °C. Nejnižší denní průměrná teplota vzduchu na stanici, –5,9 °C, byla naměřena 17. března na stanici Makov, Kasárna. Nejvyšší maximální teplota vzduchu, 20,8 °C, byla zaznamenána dne 8. března na stanici Valašské Meziříčí. Nejnižší hodnota maximální teploty vzduchu (15,3 °C) byla naměřena dne 8. března na stanici Kohútka. Nejnižší minimální teplota vzduchu, –12,3 °C, byla naměřena dne 18. března na stanici Velké Karlovice. Nejvyšší hodnota minimální teploty vzduchu byla naměřena 10. března na stanici Bojkovice (10,3 °C). Nejnižší přízemní minimální teplota vzduchu (–17,2 °C) byla naměřena dne 18. března na stanici Velké Karlovice.

V celém kraji spadlo v březnu průměrně 52 mm srážek, což odpovídá 102 % normálu 1991–2020 (srážkově normální měsíc). Ve Valašském Meziříčí bylo naměřeno 51,2 mm srážek (111 % normálu), na Marušce 63,4 mm (121 % normálu) a ve Zlíně 49,8 mm (111 % normálu). Nejvíce srážek v kraji spadlo v březnu na stanici Hošťálková (70,2 mm), dále na stanicích Kateřinice, Ojičná (66,7 mm) a Horní Bečva, U Ondrů (65,0 mm). Nejméně srážek bylo zaznamenáno na stanicích Kroměříž (31,0 mm), Holešov (41,4 mm) a Bystřice pod Hostýnem (44,4 mm). Nejvyšší denní úhrn srážek, 24,3 mm, byl zaznamenán dne 14. března na stanici Valašská Senice.

Nejvíce nového sněhu v měsíci (8 cm) zaznamenala stanice Kudlačena. Nejvyšší hodnota celkové sněhové pokrývky v kraji (11 cm) byla naměřena 18. března na stanici Velké Karlovice.

V kraji svítilo slunce průměrně 173,2 hodin. Nejdélší sluneční svit byl zaznamenán na stanicích Staré Město (193,4 hod.), Holešov (190,3 hod.) a Maruška (172,7 hod.), nejméně svítilo slunce na Valašská Senice (127,2 hod.), následovaly stanice Horní Bečva (150,4 hod.) a Valašské Meziříčí (151,5 hod.). Nejvyšší denní úhrn délky slunečního svitu v kraji (11,8 hod.) byl změřen 19. – 21. března na stanici Maruška.

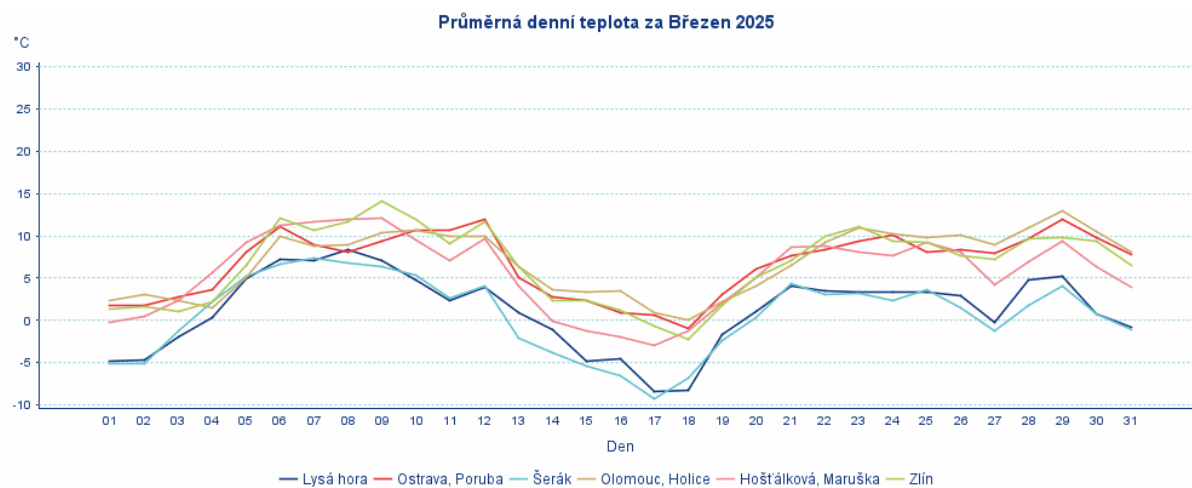
Z hlediska průměrných rychlostí větru na všech stanicích v kraji byl nejméně větrný den 10. března. Nejvyšší maximální rychlosti větru zaznamenaly stanice Maruška (19,6 m.s⁻¹ dne 23. března) a Staré Město (19,3 m.s⁻¹ dne 17. března).

Měsíc březen 2025 byl vyhodnocen na základě údajů ze všech dostupných měření na začátku měsíce dubna 2025. Uvedené údaje jsou tedy pouze předběžné a mohou se ještě měnit, neboť data nebyla kompletně verifikována. K porovnání byly použity příslušné měsíční normály 1991–2020.

Teploty vzduchu

Tab. 1 Vybrané teplotní charakteristiky v březnu 2025

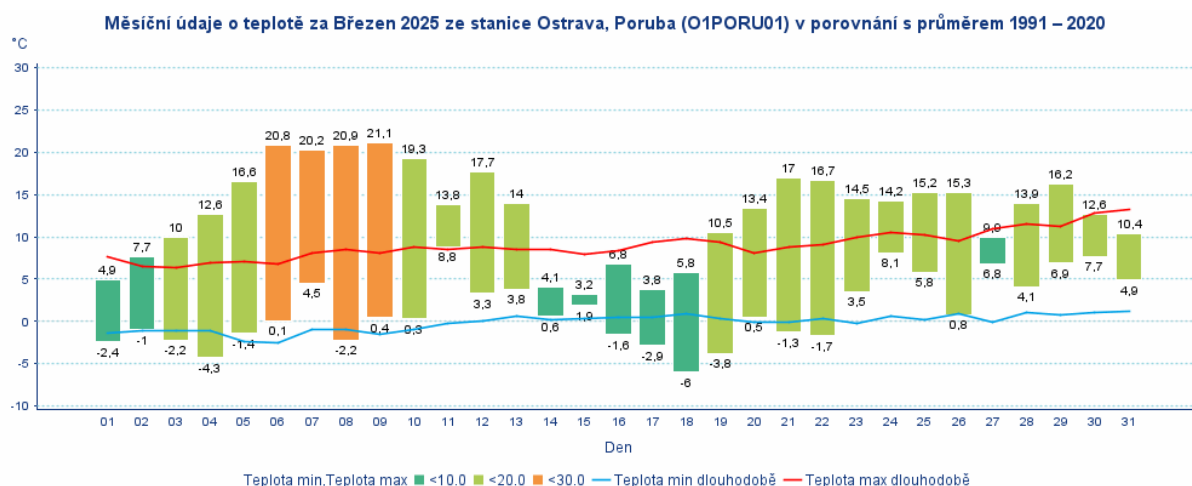
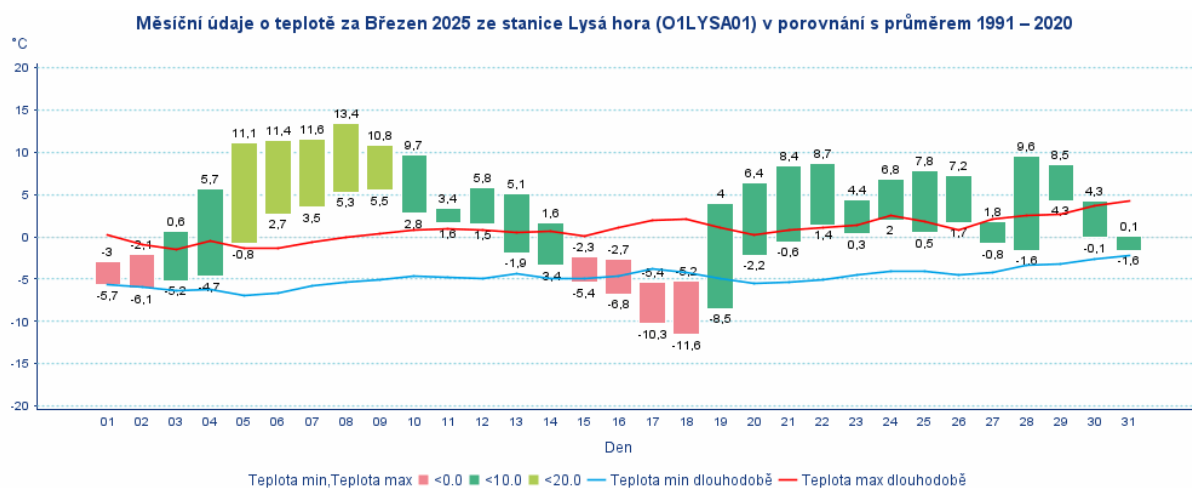
Charakteristika	Moravskoslezský kraj	Olomoucký kraj	Zlínský kraj
Průměrná měsíční teplota (°C)	5,5	5,4	5,9
Odchylka od dlouhodobého průměru (°C)	+2,8	+2,5	+2,7
Nejvyšší průměrná měsíční teplota (°C)	Slezská Ostrava 7,4	Paseka 7,3	Kroměříž 7,2
Nejnižší průměrná měsíční teplota (°C)	Vysoká hole -0,7	Malý Děd 0,1	Velké Karlovice, Miloňov 3,2
Nejteplejší / Nejchladnější den měsíce	10/18	29/17	9/18
Absolutní maximum teploty (°C)	6. den Šenov, Lapačka 22,3	8. den Přerov 20,8	8. den Valašské Meziříčí 20,8
Absolutní minimum teploty (°C)	18. den Jelení Studánka -12,1	18. den Švýcárna -12,5	18. den Velké Karlovice -12,3
Nejnižší přízemní teplota (°C)	18. den Horní Lomná -14,6	18. den Šerák -13,5	18. den Velké Karlovice -17,2



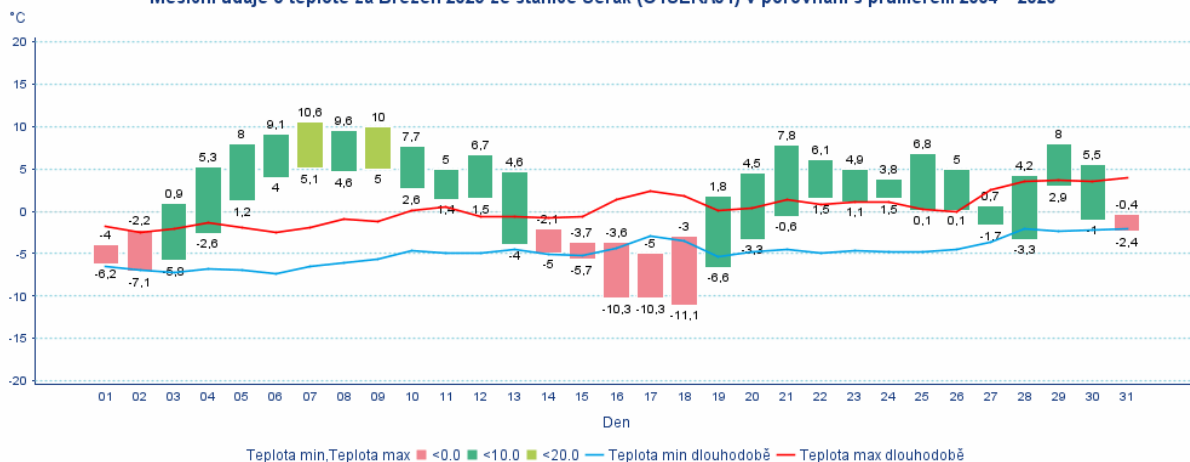
Obr. 1 Průběh průměrných denních teplot vzduchu na vybraných stanicích Lysá hora (1322 m n.m.), Ostrava-Poruba (242 m n.m.), Šerák (1328 m n.m.), Olomouc-Holice (210 m n.m.), Hošťálková-Marůška (664 m n.m.) a Zlín (283 m n.m.)

Tab. 2 Dosud zaznamenané extrémy na vybraných stanicích v březnu 2025

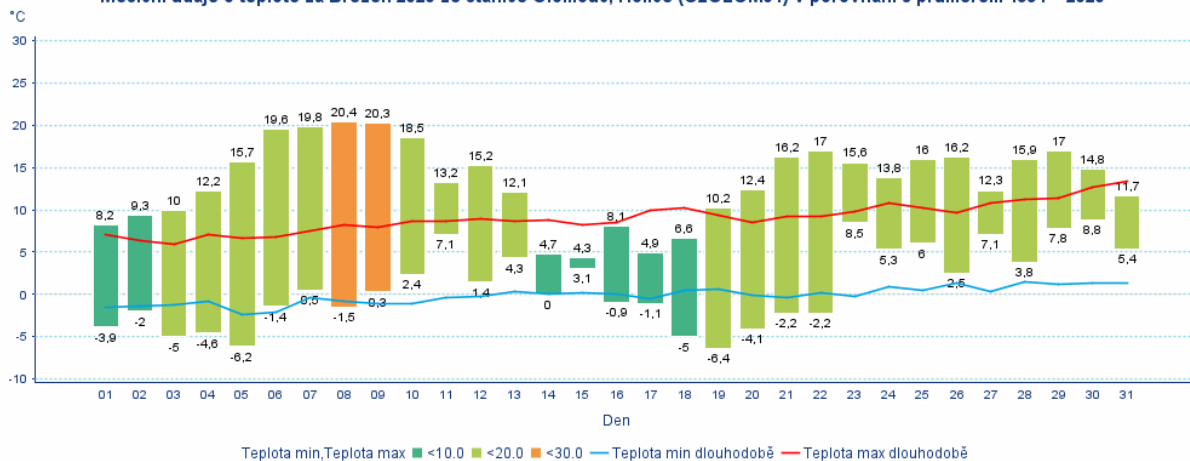
Kraj	Maximální teplota			Minimální teplota		
	stanice	datum extrému	hodnota (°C)	stanice	datum extrému	hodnota (°C)
Moravskoslezský	Ostrava, Radvanice	31. 3. 2021	24,8	Kravaře	3. 3. 1929	-31,0
Olomoucký	Prosenice	31. 3. 2021	25,0	Štítý	3. 3. 1929	-30,5
Zlínský	Napajedla	26. 3. 1921	26,0	Valašské Meziříčí, Krásno	2. 3. 1929	-31,6



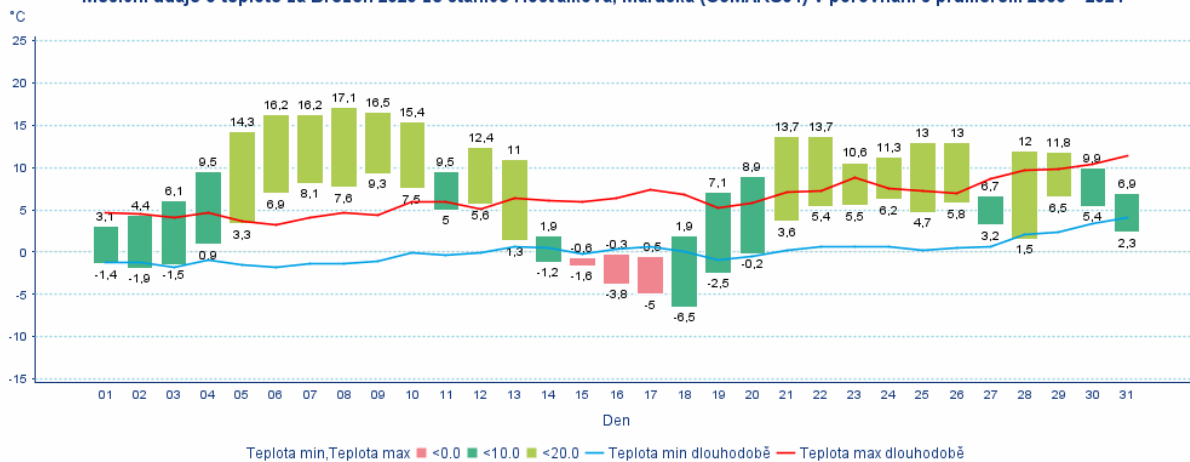
Měsíční údaje o teplotě za Březen 2025 ze stanice Šerák (O1SERA01) v porovnání s průměrem 2004 – 2020

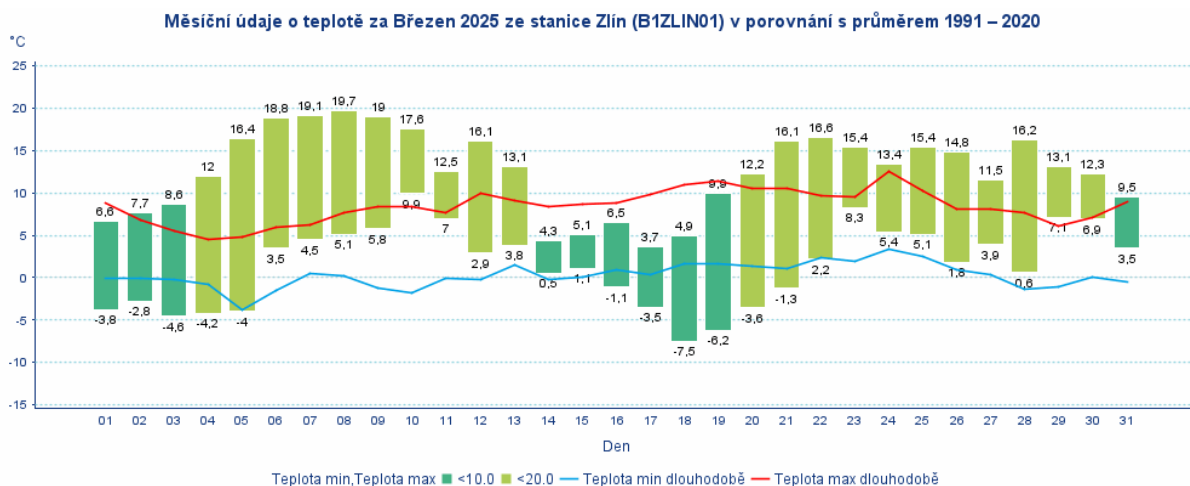


Měsíční údaje o teplotě za Březen 2025 ze stanice Olomouc, Holice (O2OLOM01) v porovnání s průměrem 1991 – 2020

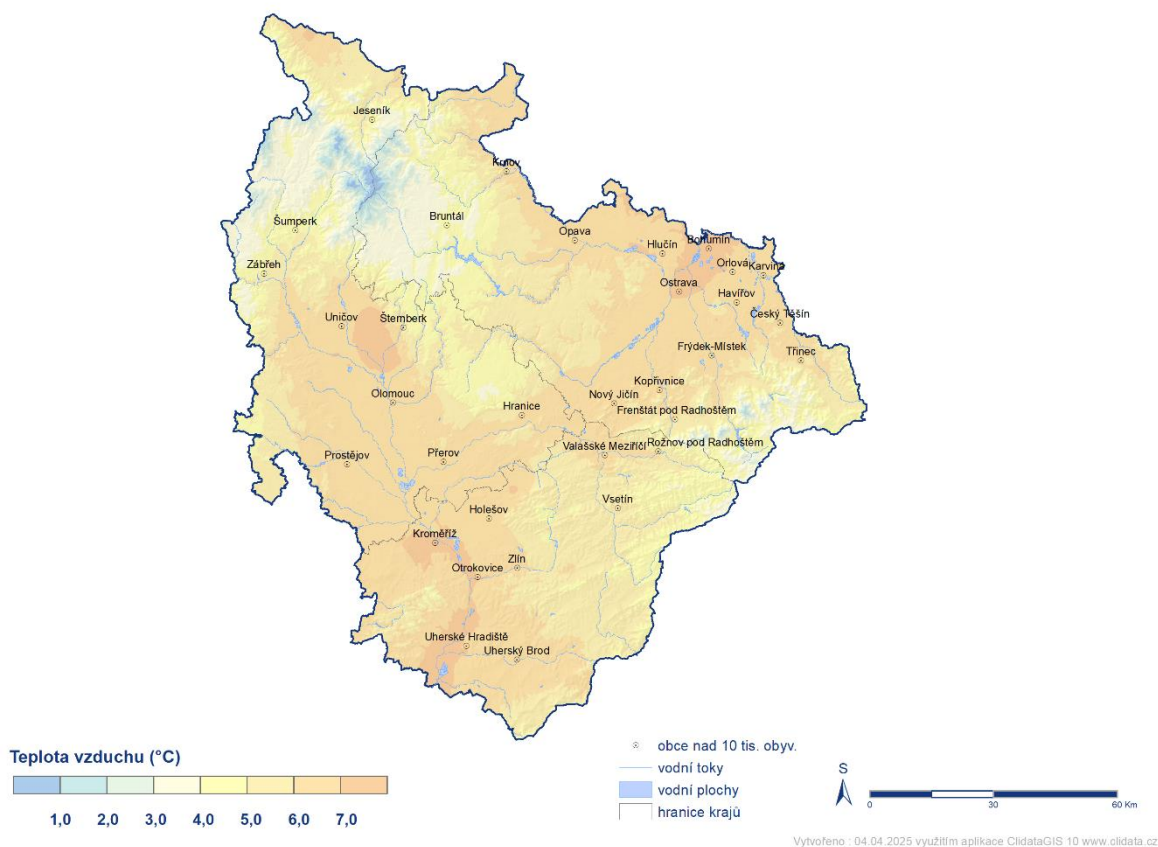


Měsíční údaje o teplotě za Březen 2025 ze stanice Hošťálková, Maruška (O3MARU01) v porovnání s průměrem 2006 – 2024





Obr. 2 a–f Průběh maximálních a minimálních teplot vzduchu na stanicích Lysá hora (1322 m n.m.), Ostrava-Poruba (242 m n.m.), Šerák (1328 m n.m.), Olomouc-Holice (210 m n.m.), Hošťálková-Maruška (664 m n.m.) a Zlín (283 m n.m.)

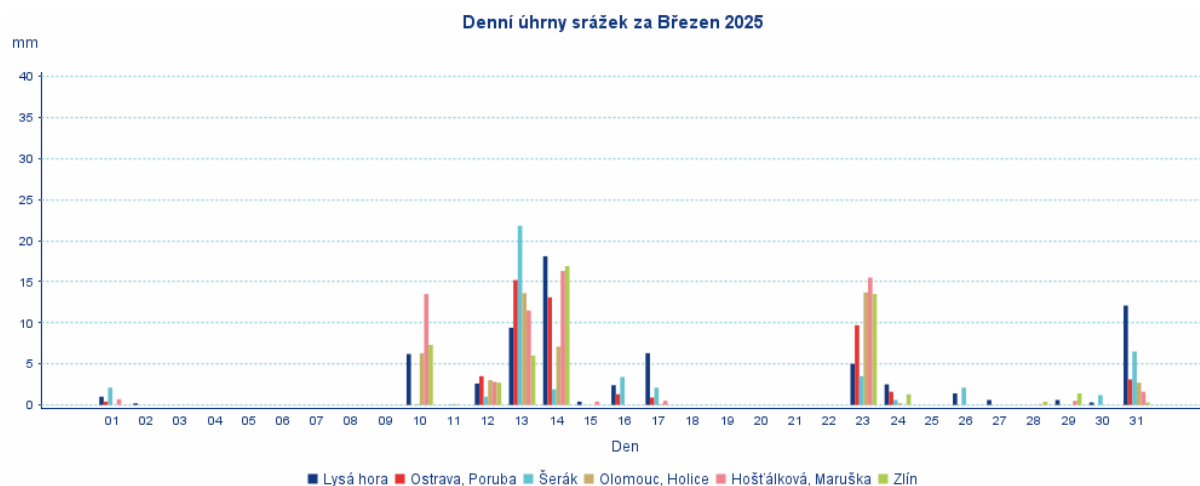


Obr. 3 Prostorové rozložení průměrné měsíční teploty na území Olomouckého, Moravskoslezského a Zlínského kraje

Srážky

Tab. 3 Vybrané srážkové charakteristiky v březnu 2025

Charakteristika	Moravskoslezský kraj	Olomoucký kraj	Zlínský kraj
Průměrný měsíční úhrn v regionu (mm)	50	42	52
v % dlouhodobé hodnoty	99	88	102
Nejvyšší měsíční úhrn (mm)	Lysá hora 69,1	Potštát, Boškov 63,1	Hošťálková 70,2
Nejnižší měsíční úhrn (mm)	Osoblaha 33,2	Hoštejn 24,0	Kroměříž 31,0
Nejvyšší denní úhrn (mm)	13. den Rýmařov 24,3	13. den Medlov, Hlívce 28,3	14. den Valašská Senice 24,3

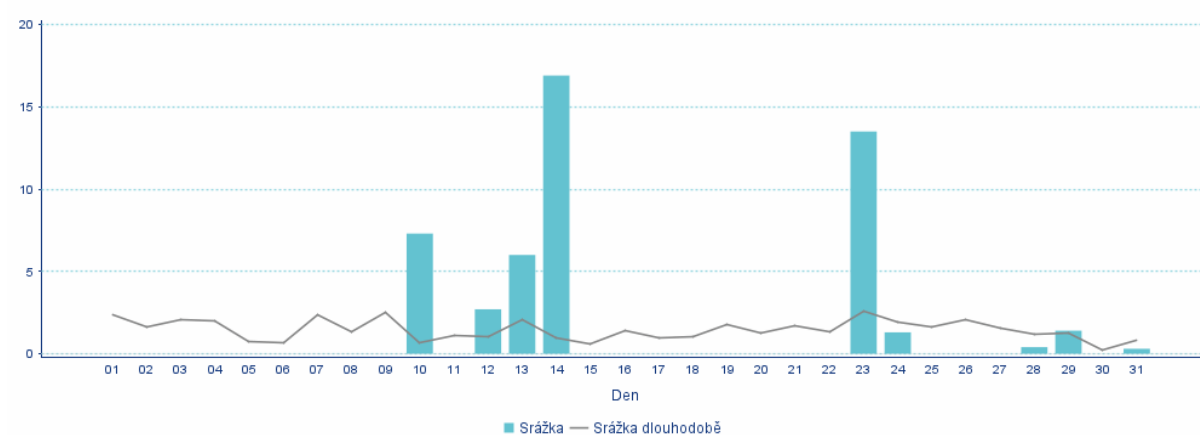


Obr. 4 Průběh denních úhrnů srážek na vybraných stanicích Lysá hora (1322 m n.m.), Ostrava-Poruba (242 m n.m.), Šerák (1328 m n.m.), Olomouc-Holice (210 m n.m.), Hošťálková-Marúška (664 m n.m.) a Zlín (283 m n.m.)

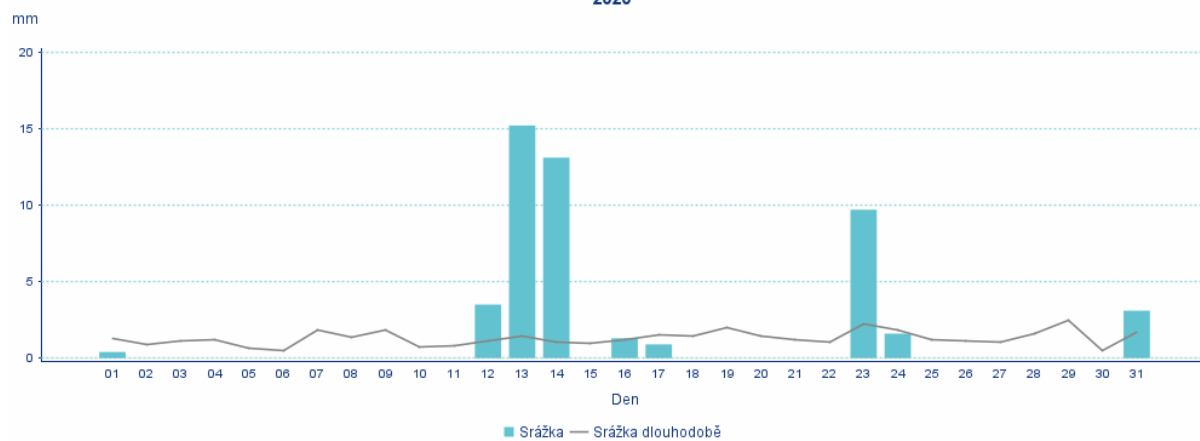
Tab. 4 Dosud zaznamenané extrémy na vybraných stanicích v březnu

Úhrn srážek	Maximální denní úhrn srážek		
	Kraj	stanice	datum extrému
Moravskoslezský	Morávka, Úspolka	4. 3. 1901	88,7
Olomoucký	Červenohorské sedlo	2. 3. 1896	88,0
Zlínský	Horní Bečva, Bečvice	12. 3. 1915	91,7

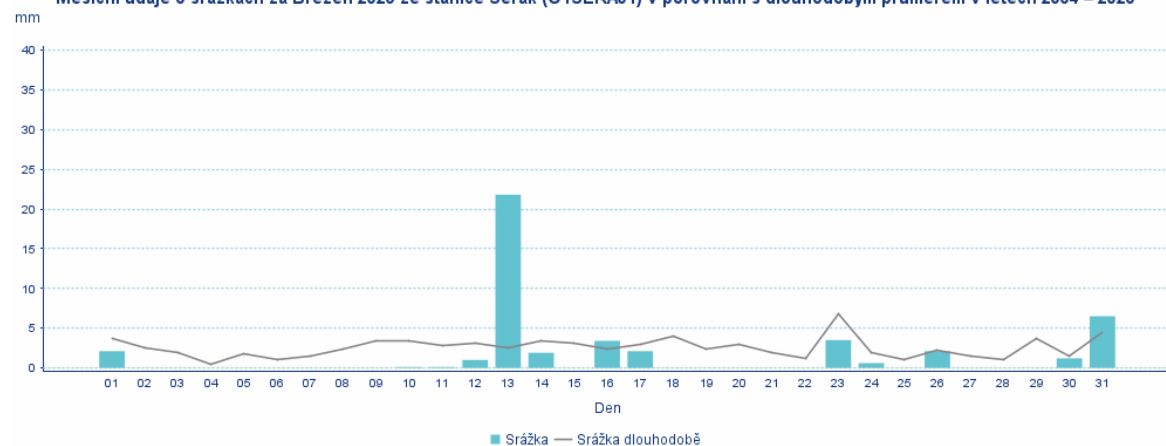
Měsíční údaje o srážkách za Březen 2025 ze stanice Zlín (B1ZLIN01) v porovnání s dlouhodobým průměrem v letech 1991 – 2020



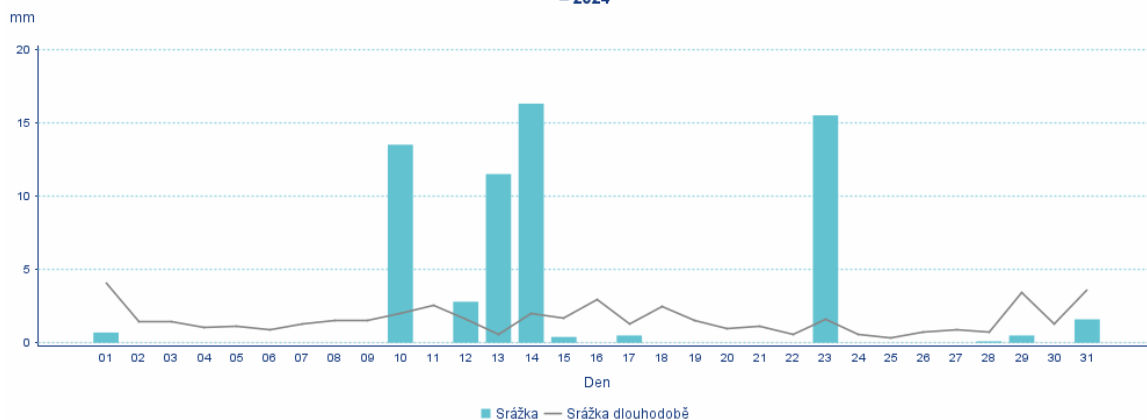
Měsíční údaje o srážkách za Březen 2025 ze stanice Ostrava, Poruba (O1PORU01) v porovnání s dlouhodobým průměrem v letech 1991 – 2020



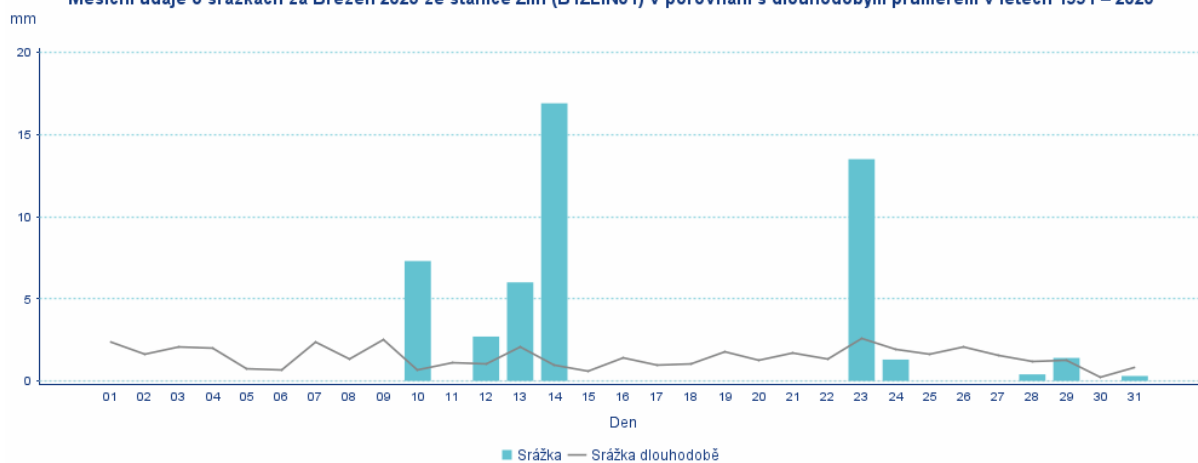
Měsíční údaje o srážkách za Březen 2025 ze stanice Šerák (O1SERA01) v porovnání s dlouhodobým průměrem v letech 2004 – 2020



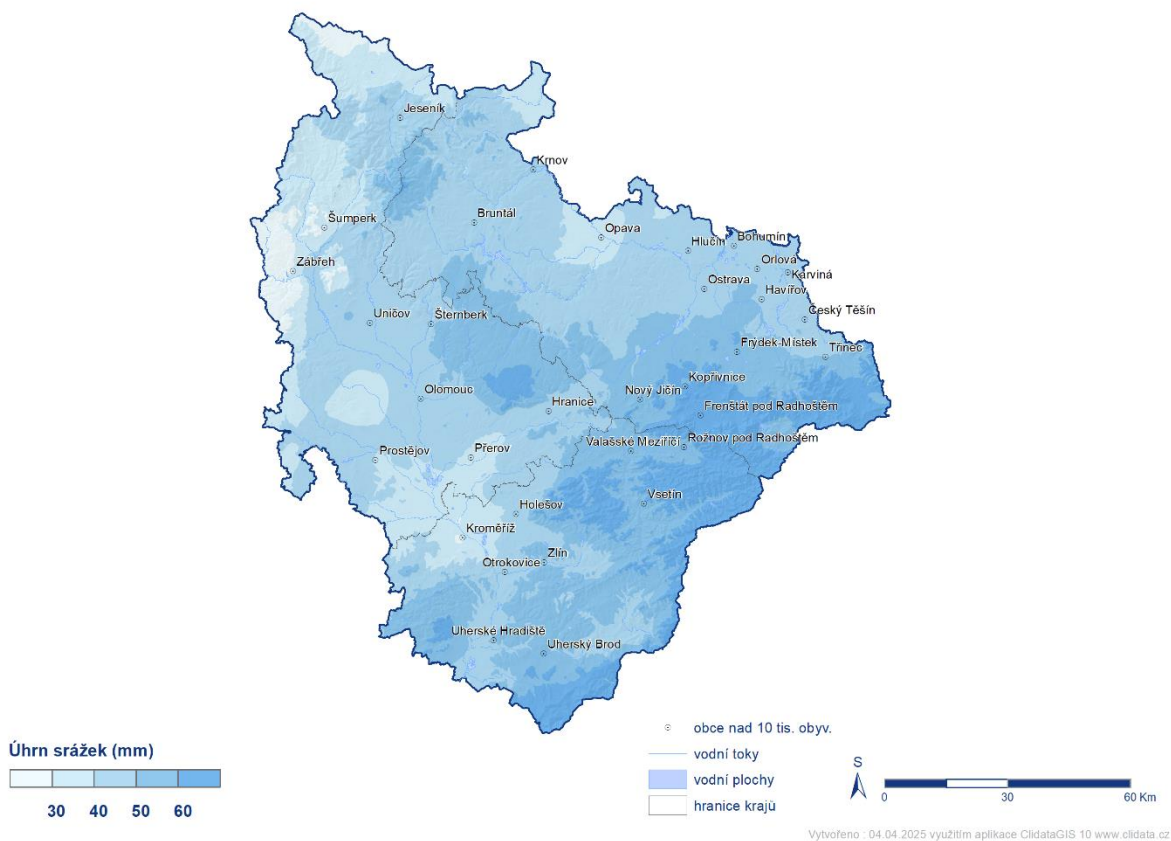
Měsíční údaje o srážkách za Březen 2025 ze stanice Hošťálková, Maruška (O3MARU01) v porovnání s dlouhodobým průměrem v letech 2006 – 2024



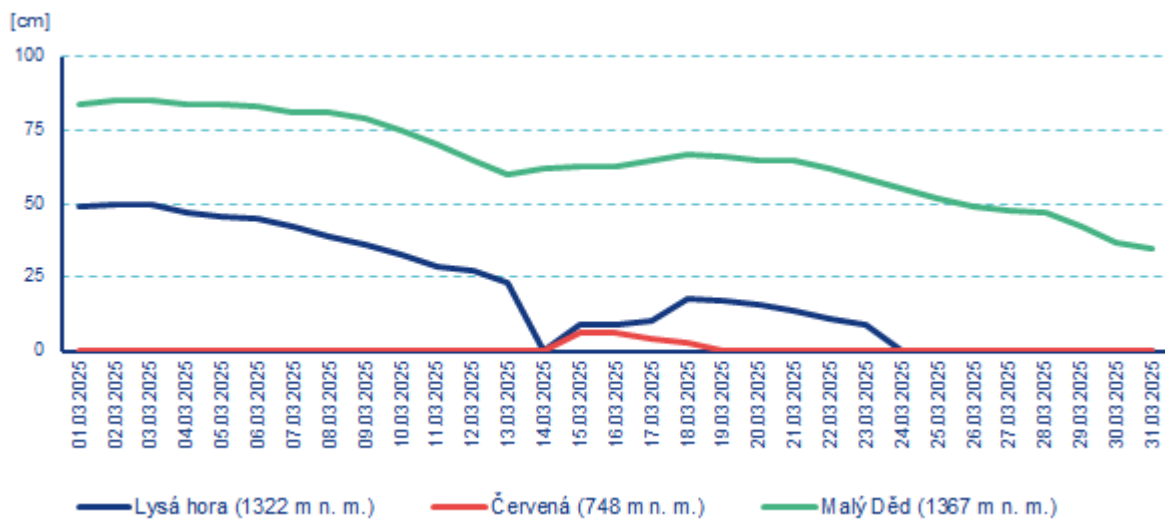
Měsíční údaje o srážkách za Březen 2025 ze stanice Zlín (B1ZLIN01) v porovnání s dlouhodobým průměrem v letech 1991 – 2020



Obr. 5 a–f Průběh srážek na stanicích Lysá hora (1322 m n.m.), Ostrava-Poruba (242 m n.m.), Šerák (1328 m n.m.), Olomouc-Holice (210 m n.m.), Hošťálková-Marůška (664 m n.m.) a Zlín (283 m n.m.)



Obr. 6 Prostorové rozložení měsíčních úhrnů srážek na území Olomouckého, Moravskoslezského a Zlínského kraje



Obr. 7 Průběh výšky sněhové pokrývky na stanicích Lysá hora (1322 m n. m.), Červená (748 m n. m.) a Malý Děd (1367 m n. m.)

Hydrologická situace

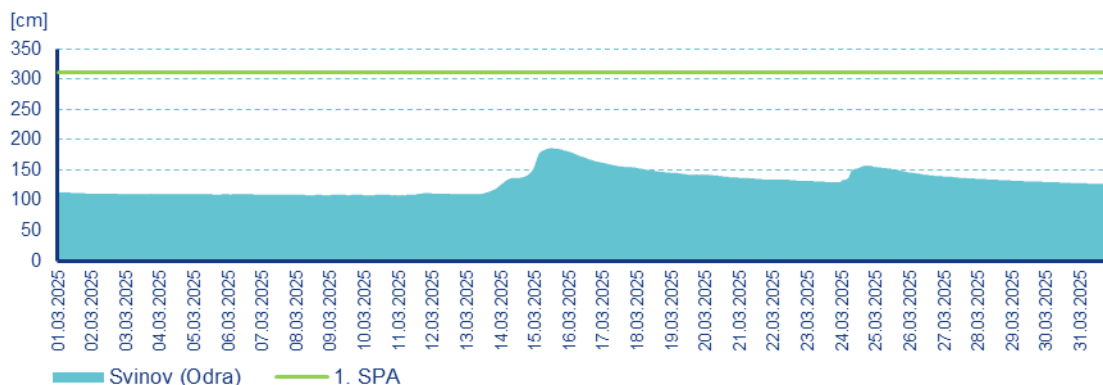
Povodí Odry

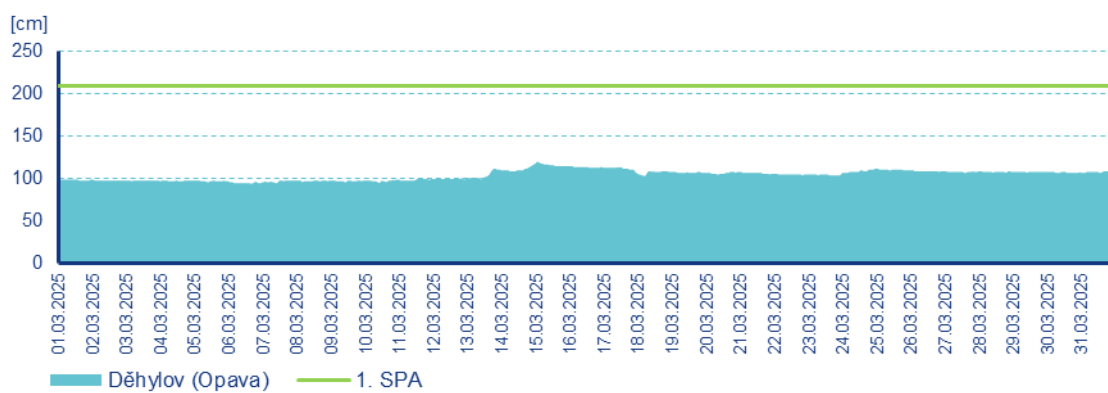
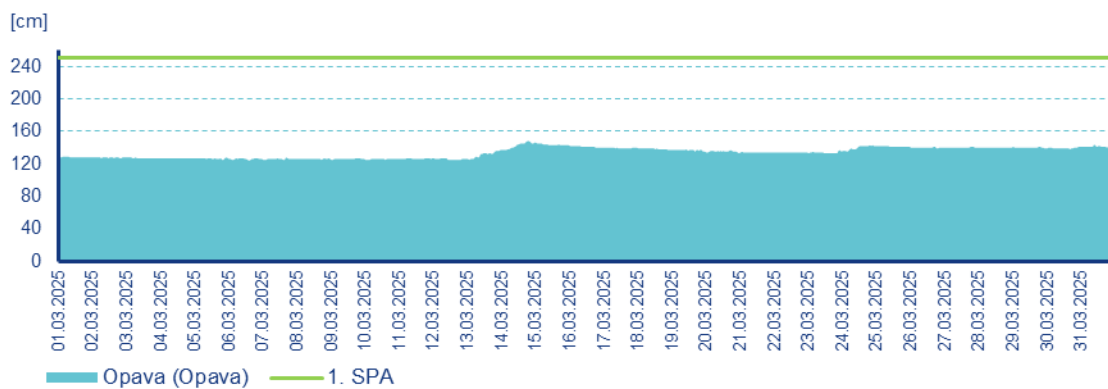
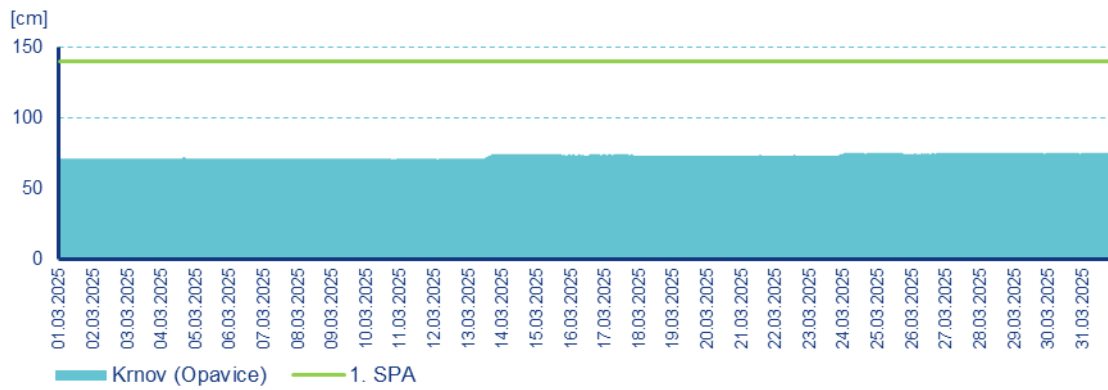
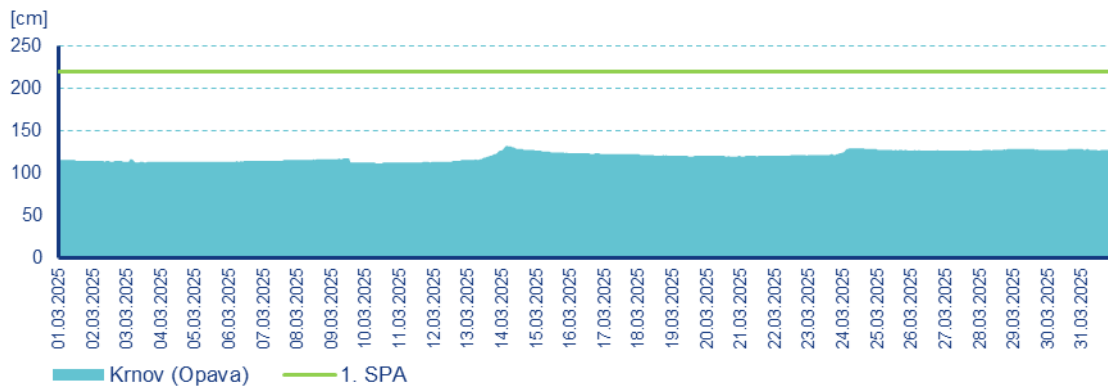
Hladiny vodních toků v povodí Odry byly v první dekádě měsíce března převážně setrvalé nebo mírně rozkolísané. V druhé dekádě se vyskytly významnější srážky, které spolu s odtáváním sněhové pokrývky z horských poloh rozkolísaly hladiny vodních toků. Výraznější vzestupy byly zaznamenány zejména u pravostranných přítoků Odry. Následovaly poklesy hladin, v polovině třetí dekády ještě došlo k mírnému kolísání hladin, do konce měsíce pak hladiny opět klesaly. Toky odvodňující nejvyšší horské partie Jeseníků měly v druhé polovině měsíce března zvolna stoupající tendenci z důvodu pozvolného odtávání sněhové pokrývky.

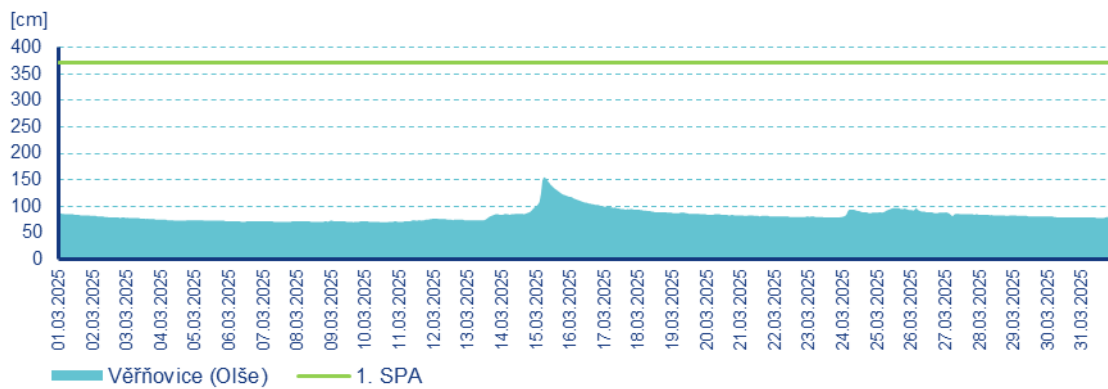
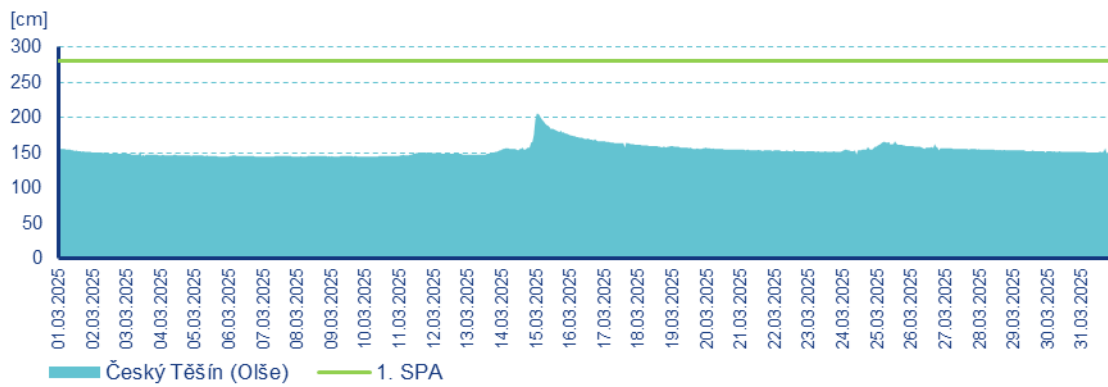
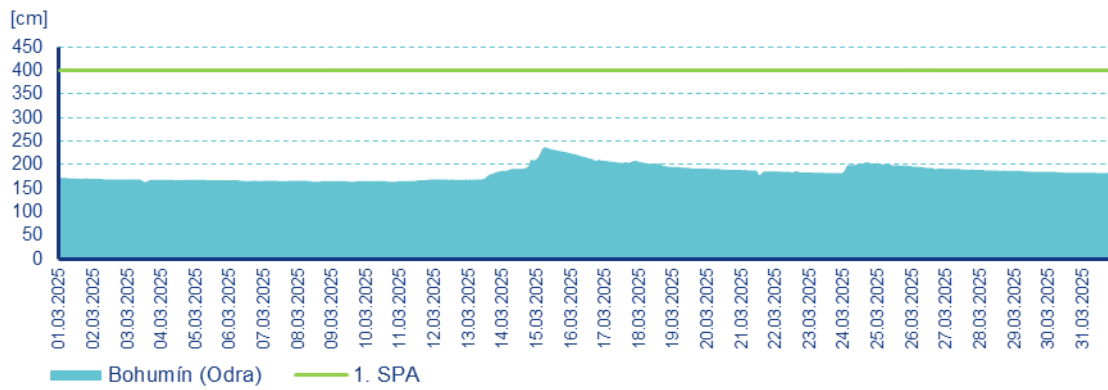
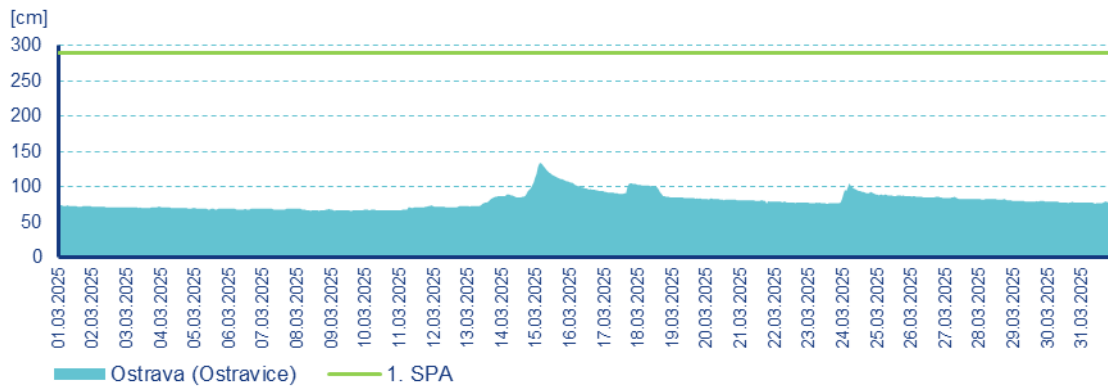
Odra v profilu Svinov kulminovala dne 15. března v 08:20 hodin při hodnotě průtoku $36,8 \text{ m}^3 \cdot \text{s}^{-1}$. Dne 14. března kulminovala Opava v Krnově v 02:00 hodin při $3,23 \text{ m}^3 \cdot \text{s}^{-1}$. Opavice v Krnově dosáhla svého maxima dne 31. března v 16:20 hodin při $0,92 \text{ m}^3 \cdot \text{s}^{-1}$. Opava v Opavě kulminovala dne 14. března v 16:10 hodin při $8,7 \text{ m}^3 \cdot \text{s}^{-1}$ a v Děhylově v 22:50 hodin při $15,3 \text{ m}^3 \cdot \text{s}^{-1}$. Ostravice v Ostravě kulminovala dne 15. března v 01:50 hodin při $26,5 \text{ m}^3 \cdot \text{s}^{-1}$, a ve stejný den dosáhla svého maxima také Odra v Bohumíně v 03:40 hodin při $74,8 \text{ m}^3 \cdot \text{s}^{-1}$. Olše v Českém Těšíně kulminovala dne 14. března v 23:00 hodin při $29,6 \text{ m}^3 \cdot \text{s}^{-1}$ a ve Věřňovicích o den později ve 03:50 při $50,5 \text{ m}^3 \cdot \text{s}^{-1}$. Osoblaha v Osoblaze kulminovala dne 13. března v 22:40 hodin při $0,72 \text{ m}^3 \cdot \text{s}^{-1}$.

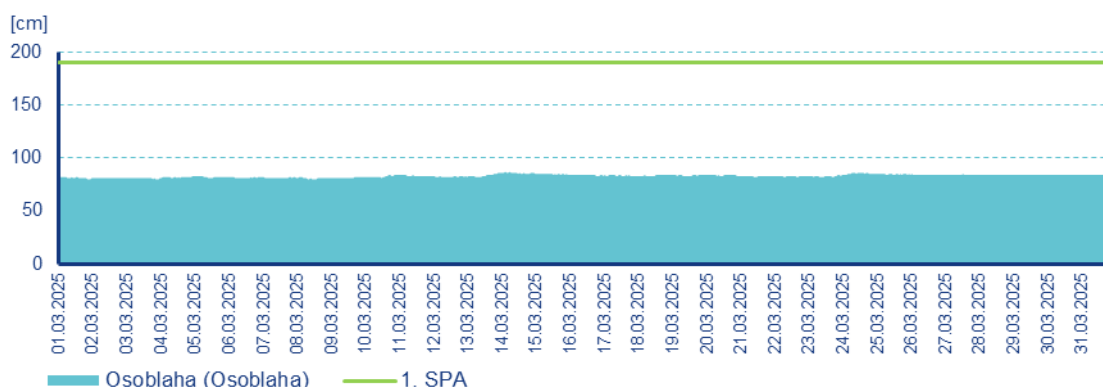
Vodnosti toků v povodí Odry se v první dekádě měsíce března pohybovaly nejčastěji v rozmezí Q_{330d} až Q_{210d} . V druhé a třetí dekádě pak stoupaly až na hodnoty v rozmezí Q_{180d} až Q_{60d} . Průměrné měsíční průtoky se pohybovaly pod hodnotou dlouhodobého měsíčního průměru (Bohumín – 53 % Q_{III}), nejčastěji v rozmezí 20–60 % Q_{III} .

Stanice Mikulovice na Bělé zatím nebyla obnovena.









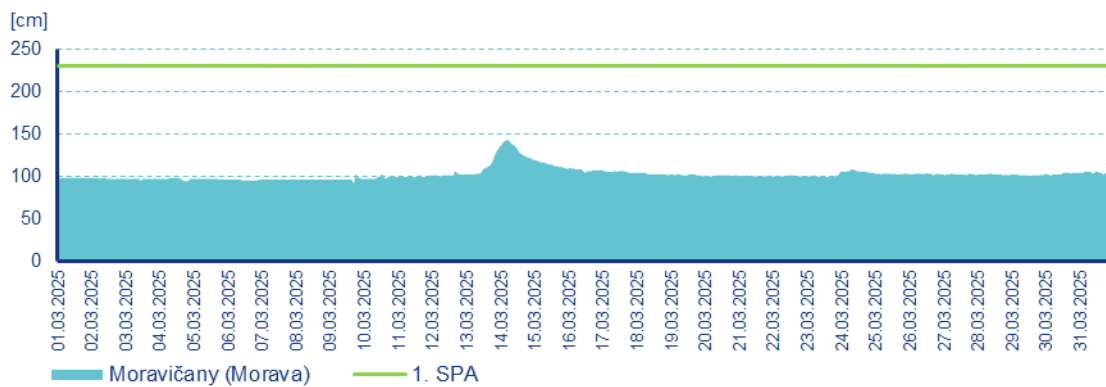
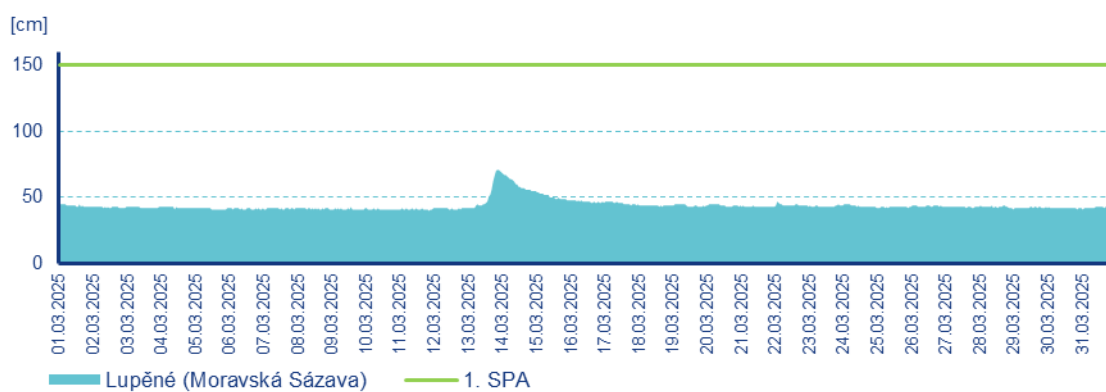
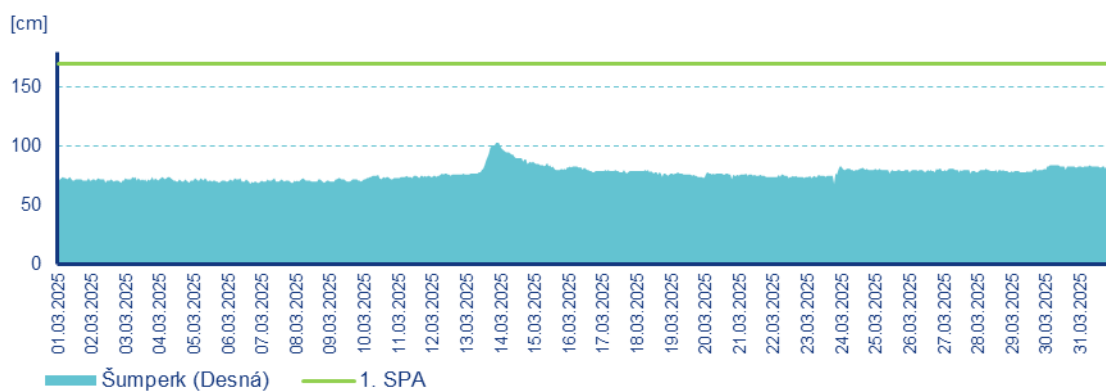
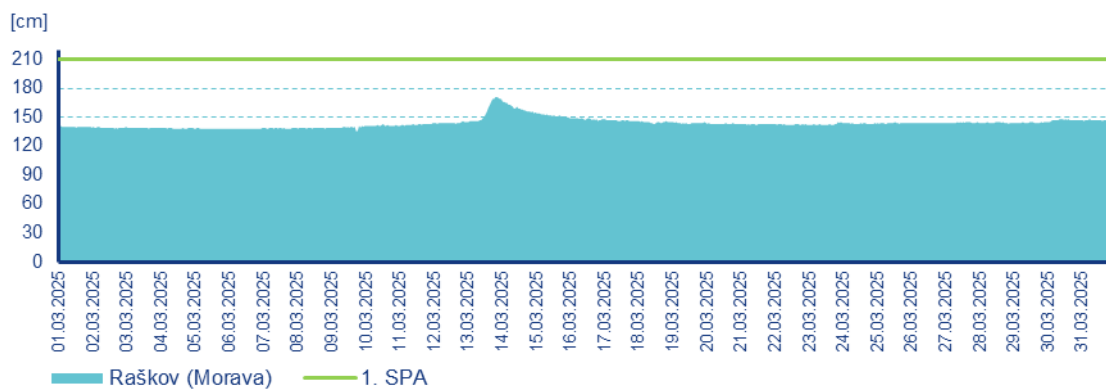
Obr. 8 Hodinové stavy ve vybraných profilech na tocích v povodí Odry

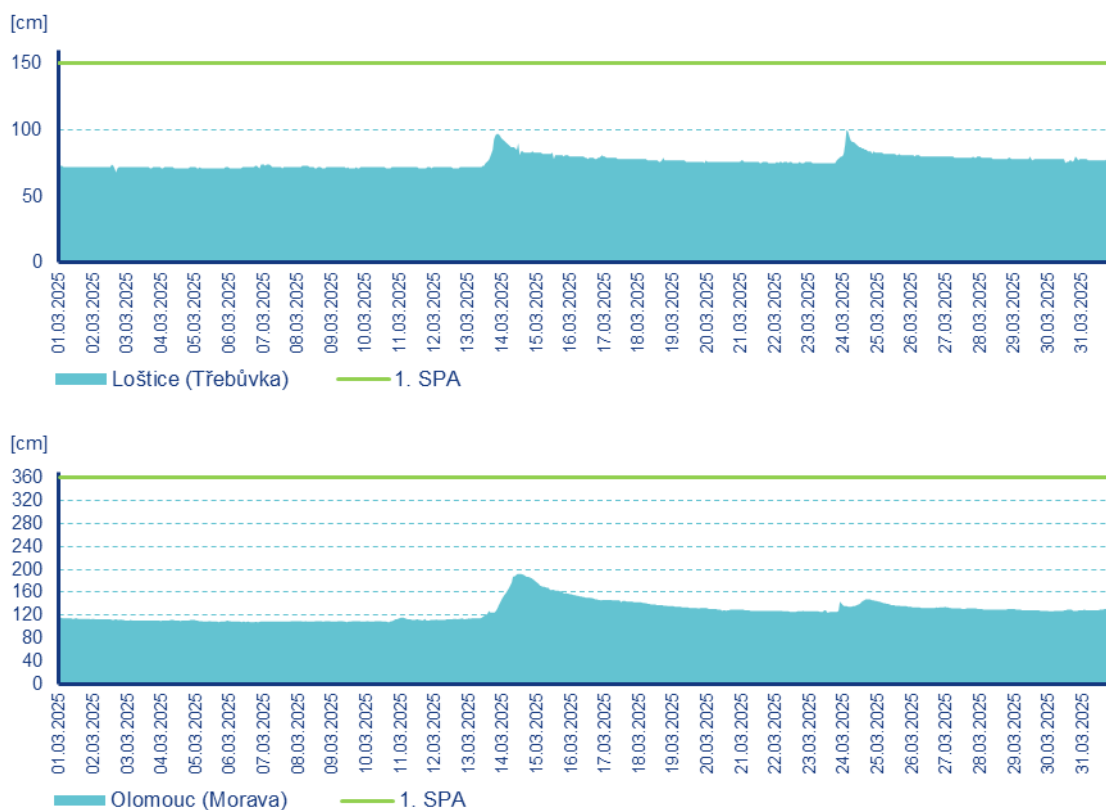
Povodí horní Moravy

Do poloviny měsíce března byly hladiny vodních toků v povodí horní Moravy převážně setrvalé nebo jen mírně rozkolísané. V polovině měsíce docházelo vlivem tání sněhu a dešťovým srážkám k vzestupům hladin vodních toků v celém povodí horní Moravy. Do konce měsíce března pak hladiny vodních toků klesaly, s výjimkou mírného kolísání v polovině třetí dekády. Toky odvodňující nejvyšší horské partie měly v třetí dekadě měsíce března zvolna stoupající tendenci vlivem tání sněhové pokrývky.

Morava v Raškově kulminovala dne 13. března v 17:30 hodin při průtoku $12,7 \text{ m}^3 \cdot \text{s}^{-1}$. Ve stejný den došlo ke kulminaci také Desné v Šumperku v 18:40 hodin při průtoku $8,82 \text{ m}^3 \cdot \text{s}^{-1}$ a Moravské Sázavy v Lupěném v 18:30 hodin při hodnotě průtoku $7,31 \text{ m}^3 \cdot \text{s}^{-1}$. Morava v Moravičanech dosáhla maxima dne 14. března v 02:10 hodin při průtoku $36,8 \text{ m}^3 \cdot \text{s}^{-1}$. Třebůvka v Lošticích kulminovala dne 24. března v 00:40 hodin při hodnotě průtoku $5,51 \text{ m}^3 \cdot \text{s}^{-1}$. Na Moravě v Olomouci došlo ke kulminaci dne 14. března v 09:00 hodin při průtoku $51,1 \text{ m}^3 \cdot \text{s}^{-1}$.

Průměrná měsíční vodnost toků v povodí horní Moravy se pohybovala v první dekadě měsíce března nejčastěji v rozmezí Q_{270d} až Q_{120d} . Ve druhé a třetí dekadě pak docházelo k vzestupu vodnosti až na hodnoty Q_{120d} až Q_{30d} . Průměrné měsíční průtoky se pohybovaly pod hodnotou dlouhodobého průměru pro měsíc březen (Olomouc – 45 % Q_{III}), u toků odvodňující nejvyšší horské partie se průměrné měsíční průtoky pohybovaly nejčastěji od 45 do 65 % Q_{III} , na ostatním území pak nejčastěji v rozmezí od 30 do 40 % Q_{III} .





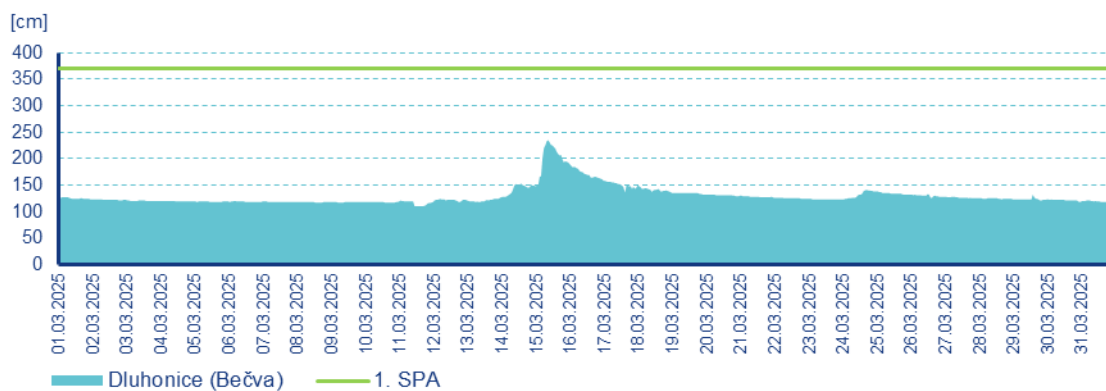
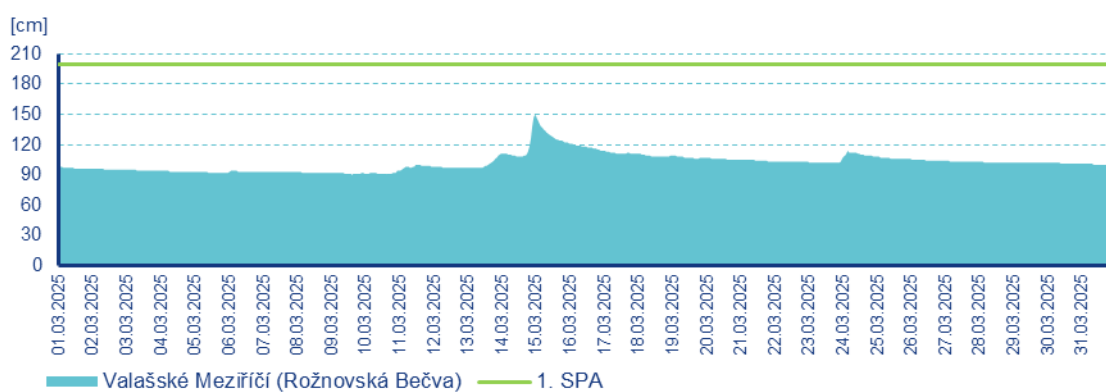
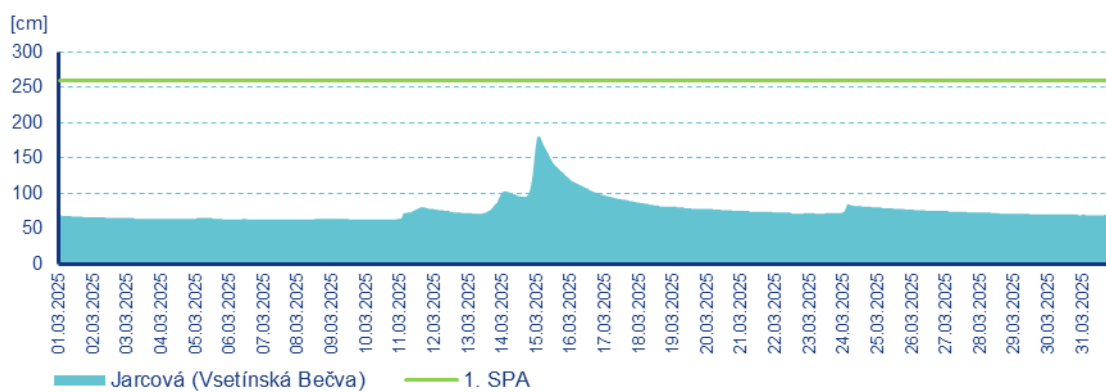
Obr. 9 Hodinové stavy ve vybraných profilech na tocích v povodí horní Moravy

Povodí Bečvy

Také v povodí Bečvy byly hladiny vodních toků v první dekádě měsíce března převážně setrvalé nebo jen mírně rozkolísané. V polovině druhé dekády se vyskytly významnější srážky, které výrazněji rozkolísaly hladiny vodních toků v celém povodí. Do poloviny třetí dekády pak hladiny klesaly. Mírné kolísání toků v polovině třetí dekády bylo způsobeno dešťovými srážkami spolu s tání sněhové pokrývky.

Vsetínská Bečva v Jarcové kulminovala dne 14. března v 23:50 hodin při průtoku $90,4 \text{ m}^3 \cdot \text{s}^{-1}$. Rožnovská Bečva ve Valašském Meziříčí dosáhla svého maxima ve stejný den v 21:40 hodin při průtoku $21,3 \text{ m}^3 \cdot \text{s}^{-1}$ a Bečva v Dluhonicích kulminovala dne 15. března v 04:30 hodin při průtoku $99,8 \text{ m}^3 \cdot \text{s}^{-1}$.

Průměrná měsíční vodnost toků v povodí Bečvy se pohybovala v první dekádě měsíce března nejčastěji v rozmezí Q_{270d} až Q_{210d} . Ve druhé dekádě pak docházelo k vzestupu vodnosti až na hodnoty Q_{90d} až Q_{30d} . V poslední dekádě se pak vodnost pohybovala nejčastěji v rozmezí Q_{210d} až Q_{90d} . Průměrné měsíční průtoky se pohybovaly pod hodnotou dlouhodobého průměru pro měsíc březen (Dluhovice – 33 % Q_{III}), nejčastěji od 27 do 40 % Q_{III} , více vodná byla Juhyně, kde se hodnoty pohybovaly kolem 55 % Q_{III} .



Obr. 10 Hodinové stavy ve vybraných profílech na tocích v povodí Bečvy

Pozn.: Všechny časy v textu, grafech i v tabulce jsou uváděny v SEČ. Hodnoty a časy kulminací jsou vyhodnocovány z operativních dat

Tab. 5 Maximální hodnoty průtoků ve sledovaných profilech

Tok	Stanice	Den	Čas (SEČ)	Hodnota		1. SPA		2. SPA		3. SPA	
				[cm]	[m3/s]	[cm]	[m3/s]	[cm]	[m3/s]	[cm]	[m3/s]
Odra	Svinov	15	08:20	186	36,8	310	123	460	263	520	327
Opava	Krnov	14	02:00	133	3,23	220	25,9	300	67,4	320	81,1
Opavice	Krnov	31	16:20	76	0,92	140	21,3	170	36,5	210	59,3
Opava	Opava	14	16:10	148	8,7	250	57,6	300	88,1	350	136
Opava	Děhylov	14	22:50	120	15,3	210	62,4	265	97,5	320	143
Ostravice	Ostrava	15	01:50	134	26,5	290	180	400	372	530	661
Odra	Bohumín	15	03:40	237	74,8	400	289	500	510	600	896
Oiše	Český Těšín	14	23:00	206	29,6	280	87,9	330	137	400	220
Oiše	Věřňovice	15	03:50	155	50,5	370	208	500	319	560	387
Osoblaha	Osoblaha	13	22:40	87	0,72	190	21,6	230	38,7	270	61,3
Bělá	Mikulovice**										
Morava	Raškov	13	17:30	173	12,7	210	29,9	240	47,6	260	61,2
Desná	Šumperk	13	18:40	103	8,82	170	35,5	220	61,7	260	84,3
Moravská Sázava	Lupěné	13	18:30	71	7,31	150	34,1	200	57,6	250	87,6
Morava	Moravičany*	14	02:10	143	36,8	230	80,1	270	102	300	118
Třebůvka	Loštice	24	00:40	101	5,51	150	16,6	180	26,4	220	44,5
Morava	Olomouc	14	09:00	192	51,1	360	147	390	170	430	204
Vsetínská Bečva	Jarcová	14	23:50	182	90,4	260	171	320	236	370	292
Rožnovská Bečva	Valašské Meziříčí	14	21:40	150	21,3	200	60,5	250	108	290	150
Bečva	Dluhonice	15	04:30	248	99,8	370	193	450	258	530	348

* Měřená data ve stanici jsou ovlivněna.

** Stanice zničena

Tab. 6 Průměrné měsíční průtoky ve sledovaných profilech - srovnání s dlouhodobým průměrem

Tok	Stanice	Průměrný měsíční průtok Q [m ³ /s]	Dlouhodobý průměr Q _M [m ³ /s]	Q v % dlouhodobého průměru % Q _M	Průměrná měsíční vodnost Q _d	Hranice sucha Q ₃₅₅
Odra	Svinov	11	23	48	120	1,06
Opava	Krnov	2	5,4	37	240	0,759
Opavice	Krnov	0,48	2,4	20	240	0,0874
Opava	Opava	4,1	9,8	42	180	1,07
Opava	Děhylov	10	22	45	180	2,6
Ostravice	Ostrava	6,7	17	39	240	2,7
Odra	Bohumín	35	65	53	150	8,36
Olše	Český Těšín	5	12	42	150	0,758
Olše	Věřňovice	9,8	23	43	180	2,89
Osoblaha	Osoblaha	0,4	1,9	21	240	0,0796
Bělá	Mikulovice**		4,5			1,16
Morava	Raškov	4,4	9,8	45	180	1,46
Desná	Šumperk	3	5,6	53	150	1,02
Moravská Sázava	Lupěné	2,3	9,1	25	180	0,449
Morava	Moravičany*	18	30	60	120	3,45
Třebůvka	Loštice	1,7	4,5	38	150	0,518
Morava	Olomouc	22	49	45	150	4,47
Vsetínská Bečva	Jarcová	7,1	19	37	120	0,876
Rožnovská Bečva	Valašské Meziříčí	2,3	6,8	34	180	0,266
Bečva	Dluhonice	11	33	33	180	1,78

* Měřená data ve stanici jsou ovlivněna.

** Stanice zničena

Vyhodnocení stavu podzemních vod v březnu 2025

Stav hladiny v mělkých i hlubokých vrtech, stejně jako vydatnost pramenů, jsou hodnoceny pomocí indexu SGI (Metodika pro stanovení mezních hodnot indikátorů hydrologického sucha, 2014), kdy je empirická měsíční křivka překročení (K_{Pm}) aproximována teoretickou distribuční funkcí. Kategorie stavu podzemních vod jsou vymezeny pravděpodobnostmi překročení 95, 85, 75, 25, 15 a 5 %. Sedm kategorií reprezentuje mimořádně (≥ 95 %), silně (85–95 %), mírně podnormální (75–85 %), normální (25–75 %), mírně (25–15 %), silně (15–5 %), mimořádně (≤ 5 %) nadnormální stav.

Druhým ukazatelem, který je použit při vyhodnocení stavu podzemních vod, je intenzita změny oproti minulému měsíci a stejnému měsíci loňského roku. Při vyhodnocení povodí je použito procentuálního zhodnocení.

Aktuální informace o stavu podzemní vody naleznete na <https://hydro.chmi.cz/hpps/pzv?id=melkevrtv>.

Mělké vrty

Hladina podzemní vody v mělkých vrtech byla v březnu na území ČR celkově silně podnormální. V dílčích povodích, která spadají pod územní působnost pobočky Ostrava, byla situace následující. V povodí Odry byla hladina podzemní vody na normální úrovni. V povodí Olše a Ostravice jsme zaznamenali silně podnormální stav; silně či mimořádně podnormální hladinu jsme pozorovali u 46 % objektů. Silně podnormální hladinu jsme zaznamenali také v povodí Bělé a Osoblaha (silně či mimořádně podnormální hladina pozorována u 34 % objektů). V povodí Horní Moravy, Opavy a Bečvy byla hladina celkově mírně podnormální.

Tab. 7 Stav hladin ve vrtech hodnocený podle pravděpodobnosti překročení v % objektů

Povodí	Mimořádně podnormální hladina	Silně podnormální hladina	Mírně podnormální hladina	Normální hladina	Mírně nadnormální hladina	Silně nadnormální hladina	Mimořádně nadnormální hladina
Odra	9	0	45	36	9	0	0
Olše a Ostravice	13	33	33	13	0	7	0
Opava	8	25	8	58	0	0	0
Bělá a Osoblaha	17	17	33	33	0	0	0
Horní Morava	5	21	21	47	0	5	0
Bečva	18	27	0	55	0	0	0

Ve srovnání s minulým měsícem došlo ke zhoršení stavu hladiny podzemních vod ve všech dílčích povodích s výjimkou povodí Odry. Výrazné zhoršení jsme zaznamenali v povodí Bělé a Osoblahy, kde se situace změnila z normální na silně podnormální; mírný pokles zde byl zaznamenán u 100 % objektů. V povodí Horní Moravy došlo ke změně stavu z normální úrovně na mírně podnormální; mírný pokles zde byl zaznamenán u 74 % objektů. K totožnému zhoršení došlo také v povodí Opavy a v povodí Bečvy. V povodí Olše a Ostravice se úroveň hladiny podzemní vody snížila z mírně podnormální na silně podnormální.

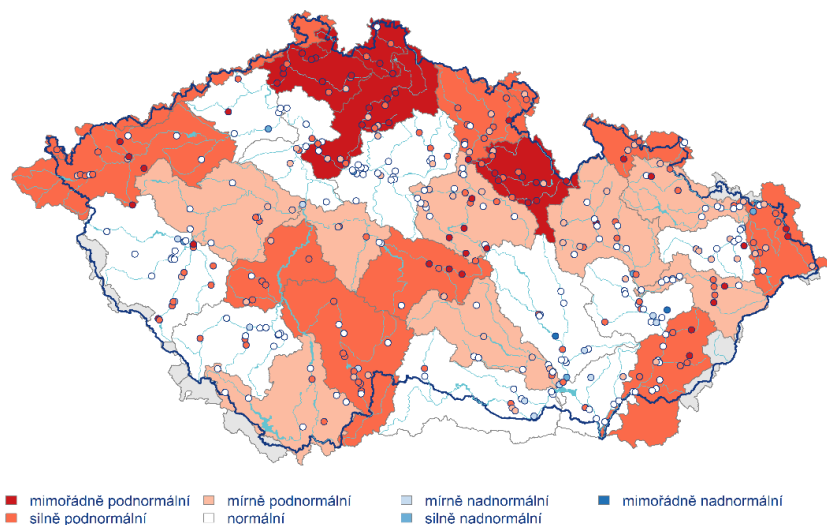
Tab. 8 Porovnání hladiny ve vrtech s předchozím měsícem v % objektů

Povodí	Výrazný pokles	Pokles	Stagnace až mírný pokles	Stagnace až mírný vzestup	Vzestup	Výrazný vzestup
Odra	0	0	18	82	0	0
Olše a Ostravice	0	0	47	47	7	0
Opava	0	0	42	50	8	0
Bělá a Osoblahy	0	0	100	0	0	0
Horní Morava	0	5	74	21	0	0
Bečva	0	0	36	64	0	0

Meziročně došlo ke zhoršení stavu hladiny podzemní vody. V povodí Horní Moravy z mimořádně nadnormální na mírně podnormální úroveň; výrazný pokles jsme zde zaznamenali u 79 % objektů. V povodí Bělé a Osoblahy došlo ke zhoršení z normální hladiny na silně podnormální, pokles či výrazný pokles jsme pozorovali u 67 % objektů. Totožná situace nastala také v povodí Opavy. V povodí Olše a Ostravice došlo ke zhoršení z normální na mimořádně podnormální úroveň hladiny; pokles či výrazný pokles jsme zaznamenali u 40 % objektů.

Tab. 9 Porovnání hladiny ve vrtech se stejným měsícem předchozího roku v % objektů

Povodí	Výrazný pokles	Pokles	Stagnace až mírný pokles	Stagnace až mírný vzestup	Vzestup	Výrazný vzestup
Odra	18	36	45	0	0	0
Olše a Ostravice	27	13	40	13	7	0
Opava	17	50	33	0	0	0
Bělá a Osoblahy	17	50	33	0	0	0
Horní Morava	79	16	5	0	0	0
Bečva	9	36	45	9	0	0



Obr. 11 Stav hladiny v mělkých vrtech v březnu 2025. Vztaheno k referenčnímu období 1991–2020 (členění na dílčí povodí)

Prameny

Vydatnost pramenů byla v březnu na území ČR celkově silně podnormální. Pro dílčí povodí, která spadají pod územní působnost pobočky Ostrava, byla situace následující. Silně podnormální vydatnost jsme zaznamenali v povodí Opavy, kde jsme mírně či silně nadnormální vydatnost naměřili na 80 % pramenů. V povodí Bečvy byla celkově zaznamenána také silně podnormální vydatnost, přičemž mírně či silně podnormální vydatnost jsme naměřili u 75 % pramenů. V povodí Olše a Ostravice a v povodí Odry byla zaznamenána mírně podnormální vydatnost. V povodí Bělé a Osoblahy a v povodí Horní Moravy pak vydatnost normální.

Tab. 10 Vydatnost pramenů hodnocená podle pravděpodobnosti překročení v % objektů

Povodí	Mimořádně podnormální vydatnost	Silně podnormální vydatnost	Mírně podnormální vydatnost	Normální vydatnost	Mírně nadnormální vydatnost	Silně nadnormální vydatnost	Mimořádně nadnormální vydatnost
Odra	0	33	17	50	0	0	0
Olše a Ostravice	0	40	20	20	0	20	0
Opava	0	40	40	20	0	0	0
Bělá a Osoblaha	0	20	0	60	0	20	0
Horní Morava	0	33	17	33	0	0	17
Bečva	0	50	25	25	0	0	0

Ve srovnání s předchozím měsícem došlo ke zhoršení vydatnosti pramenů. Nejvýrazněji v povodí Opavy, kde se vydatnost zhoršila z mírně nadnormální na silně podnormální. Pokles či mírný pokles jsme zaznamenali u 100 % pramenů. V povodí Bělé a Osoblahy se vydatnost zhoršila z mírně nadnormální na normální, pokles byl pozorován u 40 % pramenů. V povodí Bečvy se vydatnost zhoršila z normální na silně podnormální, mírný pokles byl zaznamenán u 75 % pramenů. V povodí Odry a v povodí Olše a Ostravice se pak vydatnost zhoršila z normální na mírně podnormální. V povodí Horní Moravy zůstala vydatnost na normální úrovni.

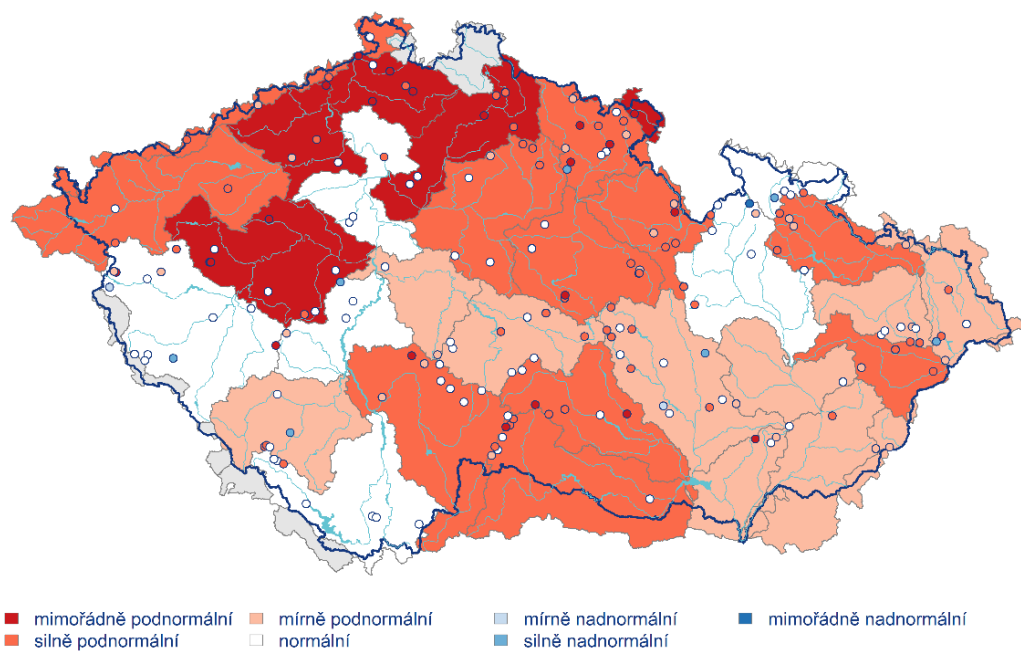
Tab. 11 Porovnání vydatnosti pramenů s předchozím měsícem v % objektů

Povodí	Výrazný pokles	Pokles	Stagnace až mírný pokles	Stagnace až mírný vzestup	Vzestup	Výrazný vzestup
Odra	0	0	33	67	0	0
Olše a Ostravice	0	0	20	60	20	0
Opava	0	40	60	0	0	0
Bělá a Osoblaha	0	40	40	20	0	0
Horní Morava	0	0	67	33	0	0
Bečva	0	0	75	25	0	0

Při porovnání se stejným měsícem minulého roku jsme zaznamenali zhoršení vydatnosti pramenů. V povodí Odry došlo ke zhoršení z normální na mírně podnormální vydatnost; pokles či výrazný pokles byl zaznamenán u 83 % pramenů. V povodí Olše a Ostravice zůstala vydatnost mírně podnormální. V povodí Opavy došlo ke zhoršení z normální na silně podnormální; pokles či výrazný pokles byl pozorován u 80 % pramenů. V povodí Bělé a Osoblahy došlo ke zhoršení z mírně nadnormální vydatnosti na normální. V povodí Bečvy pak ke zhoršení z normální na silně podnormální vydatnost; pokles či výrazný pokles byl zaznamenán u 75 % pramenů.

Tab. 12 Porovnání vydatnosti pramenů se stejným měsícem předchozího roku v % objektů

Povodí	Výrazný pokles	Pokles	Stagnace až mírný pokles	Stagnace až mírný vzestup	Vzestup	Výrazný vzestup
Odra	33	50	17	0	0	0
Olše a Ostravice	0	40	20	20	0	20
Opava	40	40	20	0	0	0
Bělá a Osoblaha	40	40	0	0	20	0
Horní Morava	67	17	0	0	17	0
Bečva	25	50	25	0	0	0



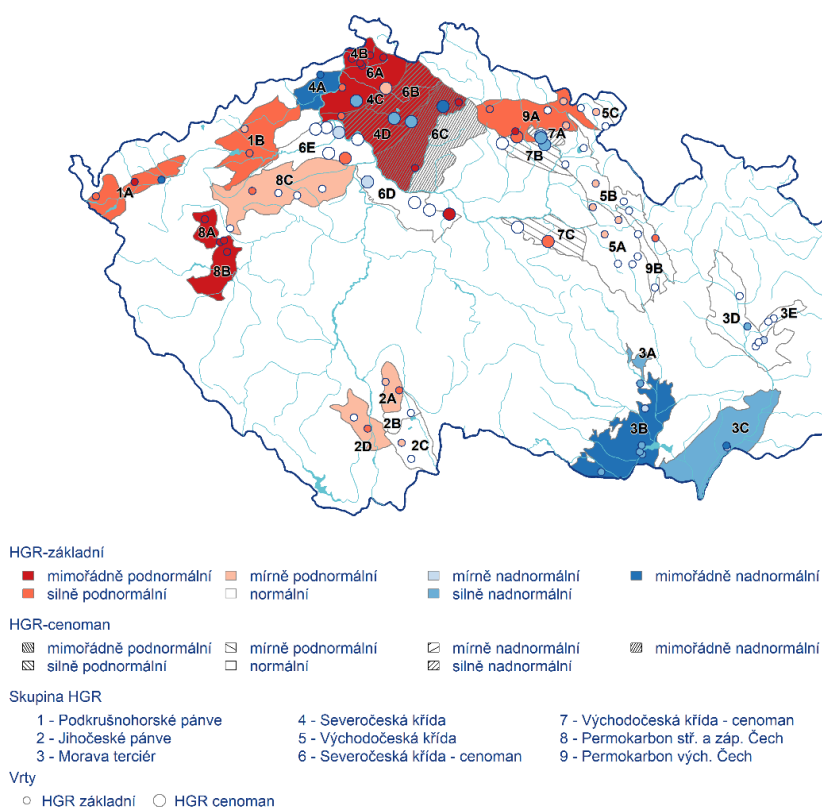
Obr. 12 Vydatnost pramenů v březnu 2025. Vzátaženo k referenčnímu období 1991–2020 (členění na dílčí povodí)

Hluboké vrty

V rámci působnosti pobočky Ostrava byla hladina podzemní vody v hlubokých vrtech v březnu v části moravského terciéru (3C) i v části permokarbonu východních Čech (9B) normální. Ve srovnání s předchozím měsícem nedošlo ke změně stavu. Ve srovnání se stejným měsícem minulého roku došlo ke zhoršení stavu HPV v části permokarbonu východních Čech (9B) ze silně nadnormálního na normální a v části moravského terciéru (3C) taktéž.

Stav hladiny podzemní vody v hlubokých vrtech Březen 2025

Český
hydrometeorologický
ústav



Obr. 13 Stav hladiny podzemní vody v hlubokých vrtech v prosinci 2023. Vztaženo k referenčnímu období 1991–2020

Při interpretaci výsledků je třeba brát v úvahu, že hodnocení hlubokých zvodní je prováděno na menším počtu objektů a často na kratších pozorovaných řadách, než vyhodnocování mělkých vrtů a pramenů. Většina hlubokých vrtů má sice pozorování od roku 1991, část z nich však jen od roku 2008.

Kvalita ovzduší

V březnu 2025 byla na území Moravskoslezského, Olomouckého a Zlínského kraje překročena denní limitní hodnota $50 \mu\text{g}\cdot\text{m}^{-3}$ pro suspendované částice PM_{10} (obr. 16) na polovině sledovaných stanic. Nejvyšší průměrná denní hodnota PM_{10} byla naměřena 8. března ve výši $92 \mu\text{g}\cdot\text{m}^{-3}$ na stanici Český Těšín, nejnižší hodnota byla naměřena na stanici Těšnovice 13. března ve výši $5 \mu\text{g}\cdot\text{m}^{-3}$ (obr. 12).

V případě průměrných denních koncentrací suspendovaných částic $\text{PM}_{2,5}$ (obr. 13) byly nejvyšší i nejnižší koncentrace naměřeny analogicky ve stejných dnech, jako v případě PM_{10} .

Denní koncentrace NO_2 (obr. 14) byly nízké a v březnu nedošlo k překročení hodinového limitu $200 \mu\text{g}\cdot\text{m}^{-3}$ této látky. Vyšší hodnoty průměrných denních koncentrací se vyskytovaly pouze na dopravní stanici Ostrava-Českobratrská a městských stanicích zatížených dopravou.

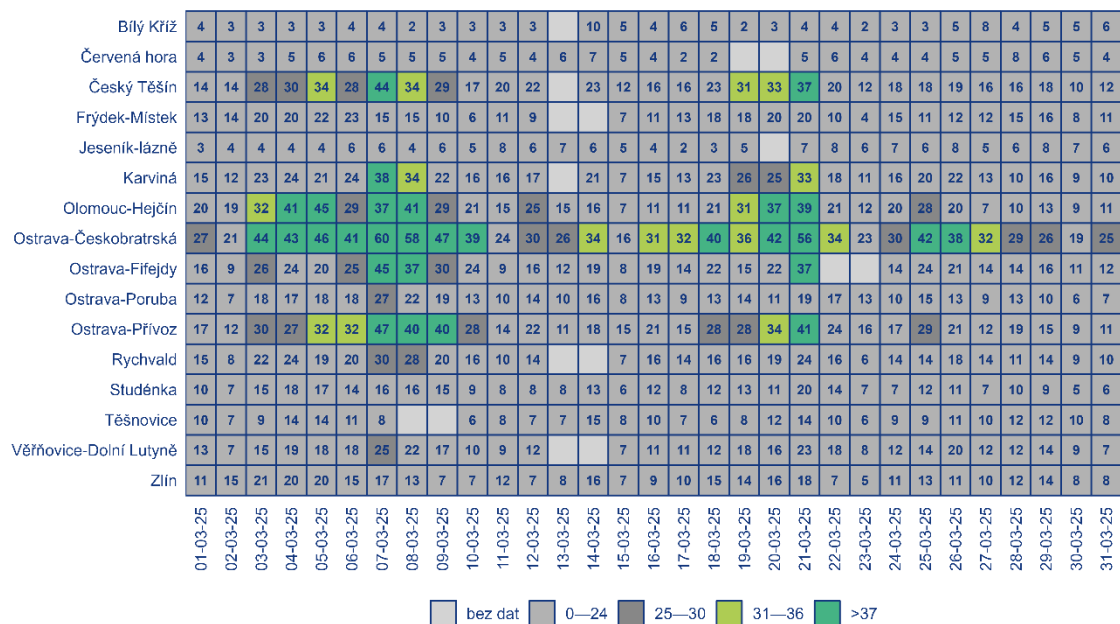
V měsíci březnu byly naměřeny vyšší maximální 8hodinové klouzavé koncentrace O_3 zejména v první třetině měsíce, limitní hodnota $120 \mu\text{g}\cdot\text{m}^{-3}$ byla překročena na polovičen stanic, na kterých se přízemní ozon měří.

Hodnoty průměrných měsíčních koncentrací suspendovaných částic PM_{10} (obr. 17) byly v březnu 2025 v průměru o $-0,5 \mu\text{g}\cdot\text{m}^{-3}$ nižší než v březnu 2024 na všech stanicích. Rozdíly se pohybovaly v rozmezí $-7,0 \mu\text{g}\cdot\text{m}^{-3}$ (Třinec-Kosmos) až $7,1 \mu\text{g}\cdot\text{m}^{-3}$ (Olomouc-Hejčín).

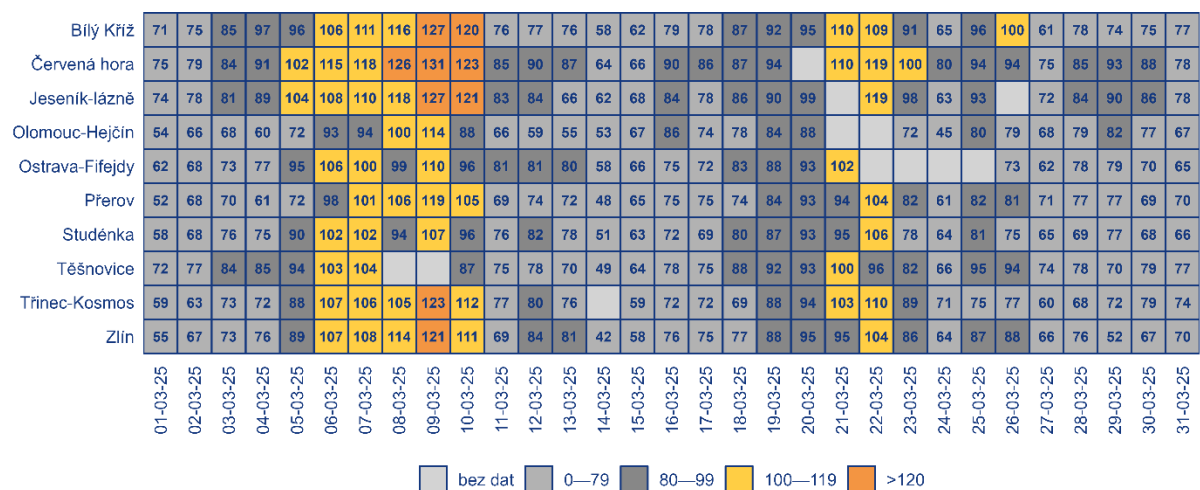
Hodnoty průměrných měsíčních koncentrací suspendovaných částic $\text{PM}_{2,5}$ (obr. 18) byly v březnu 2025 v průměru o $1,3 \mu\text{g}\cdot\text{m}^{-3}$ vyšší než v březnu 2024 na všech stanicích. Rozdíly se pohybovaly v rozmezí $-2,9 \mu\text{g}\cdot\text{m}^{-3}$ (Karviná) až $5,6 \mu\text{g}\cdot\text{m}^{-3}$ (Olomouc-Hejčín).

Hodnoty průměrných měsíčních koncentrací NO_2 (obr. 19) by byly v březnu 2025 v průměru o $2,7 \mu\text{g}\cdot\text{m}^{-3}$ vyšší než v březnu 2024 na všech stanicích. Rozdíly se pohybovaly v rozmezí $-0,6 \mu\text{g}\cdot\text{m}^{-3}$ (Červená Hora) až $7,6 \mu\text{g}\cdot\text{m}^{-3}$ (Ostrava-Českobratrská).

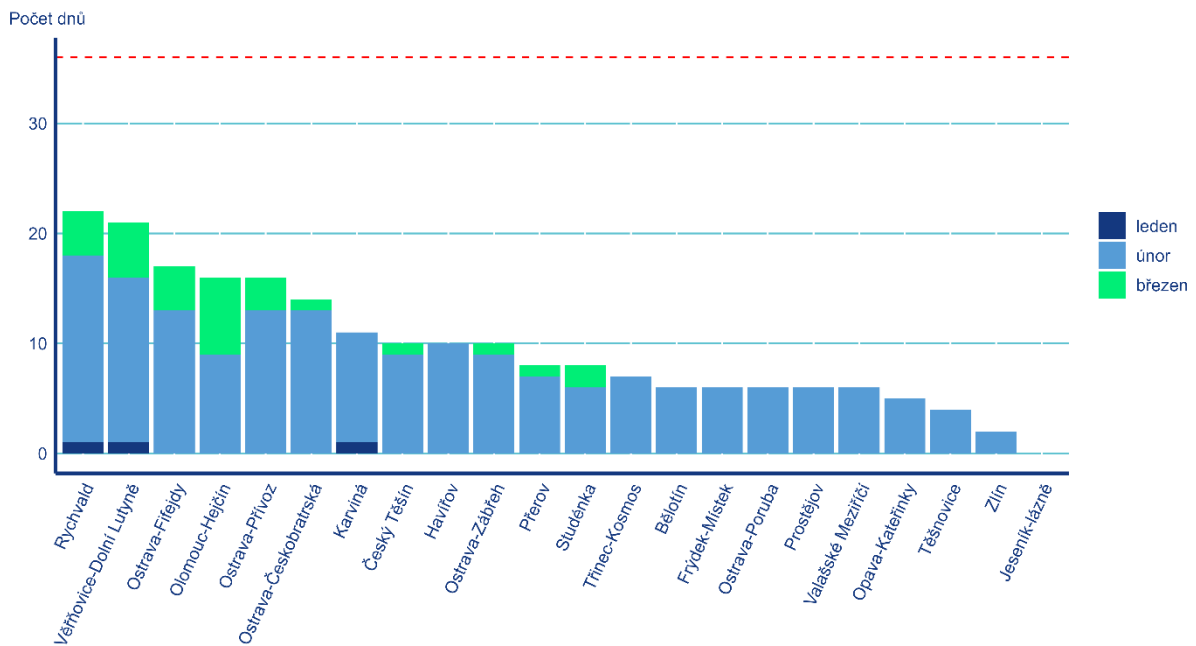
Hodnoty průměrných měsíčních koncentrací O_3 (obr. 20) byly v březnu 2025 v průměru o $8,3 \mu\text{g}\cdot\text{m}^{-3}$ vyšší než v březnu 2024 na všech stanicích. Rozdíly v koncentracích se pohybovaly v rozmezí $-2,7 \mu\text{g}\cdot\text{m}^{-3}$ na stanici Olomouc-Hejčín až $21,0 \mu\text{g}\cdot\text{m}^{-3}$ na stanici Jeseník-lázně.



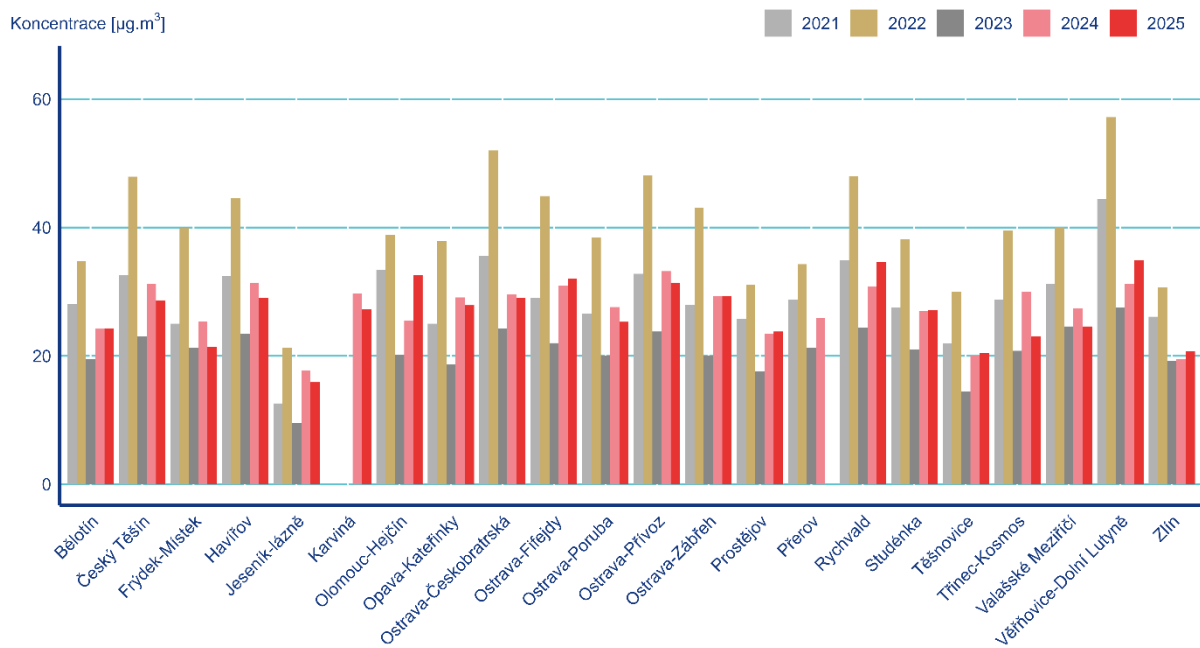
Obr. 16 Průměrné denní koncentrace NO₂ v μg.m⁻³, březen 2025



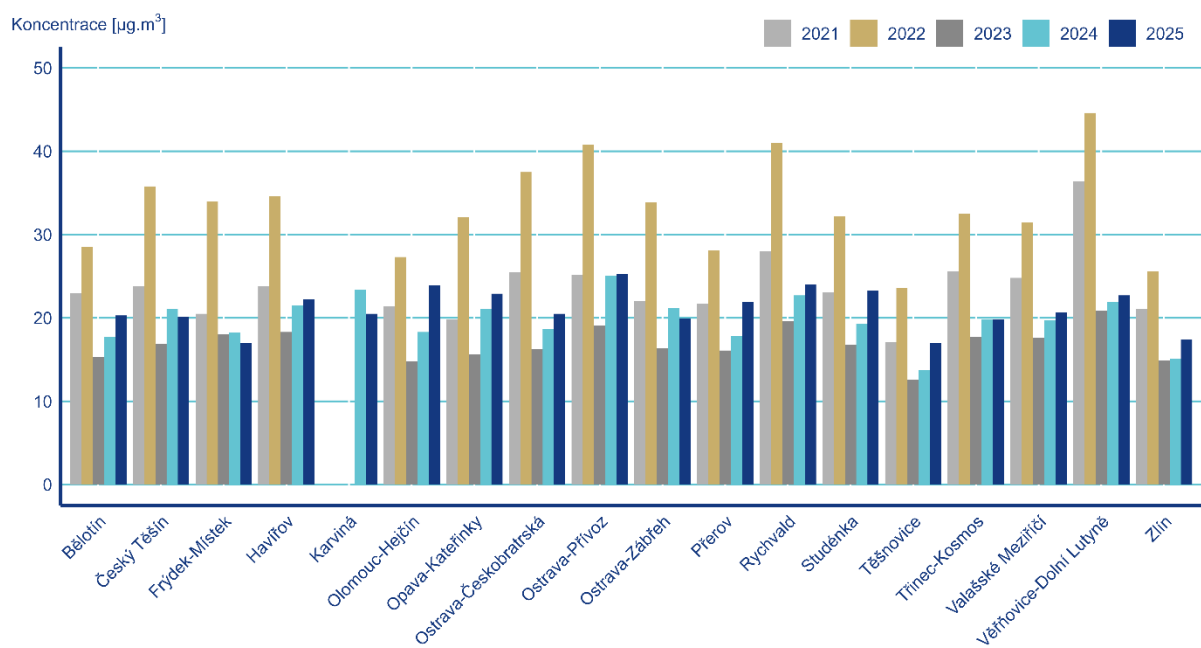
Obr. 17 Maximální naměřená 8hodinová koncentrace O₃ v μg.m⁻³, březen 2025



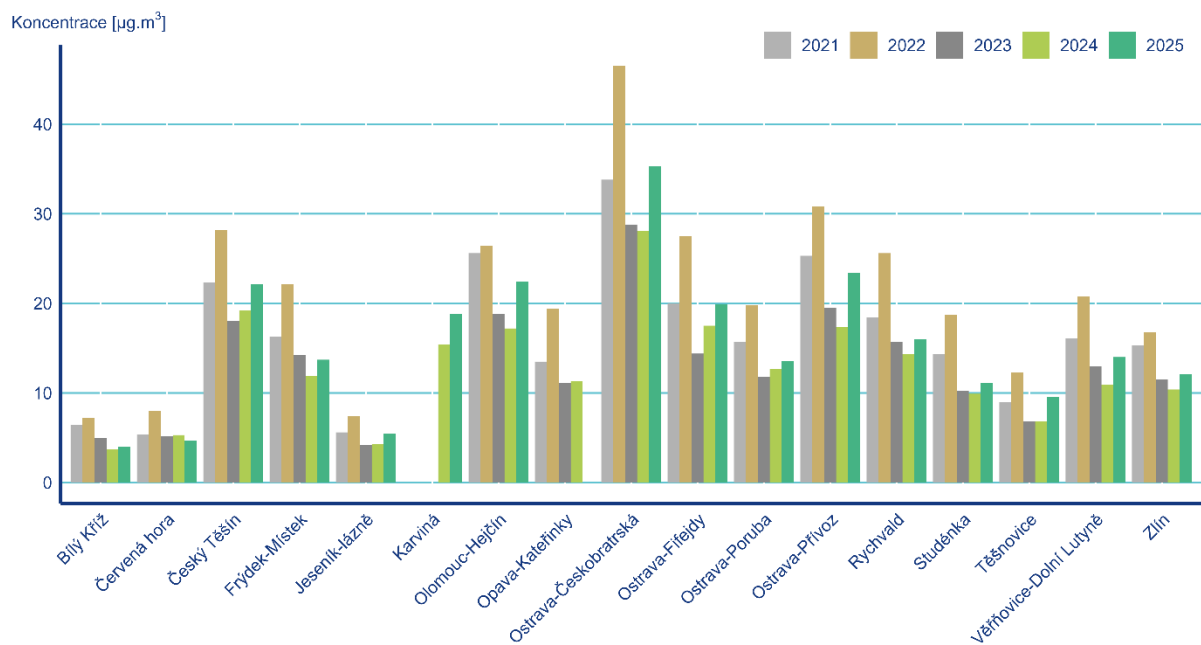
Obr. 18 Počet dnů, kdy průměrná denní koncentrace PM_{10} překročila hodnotu imisního limitu ($50 \mu\text{g}\cdot\text{m}^{-3}$), 2025



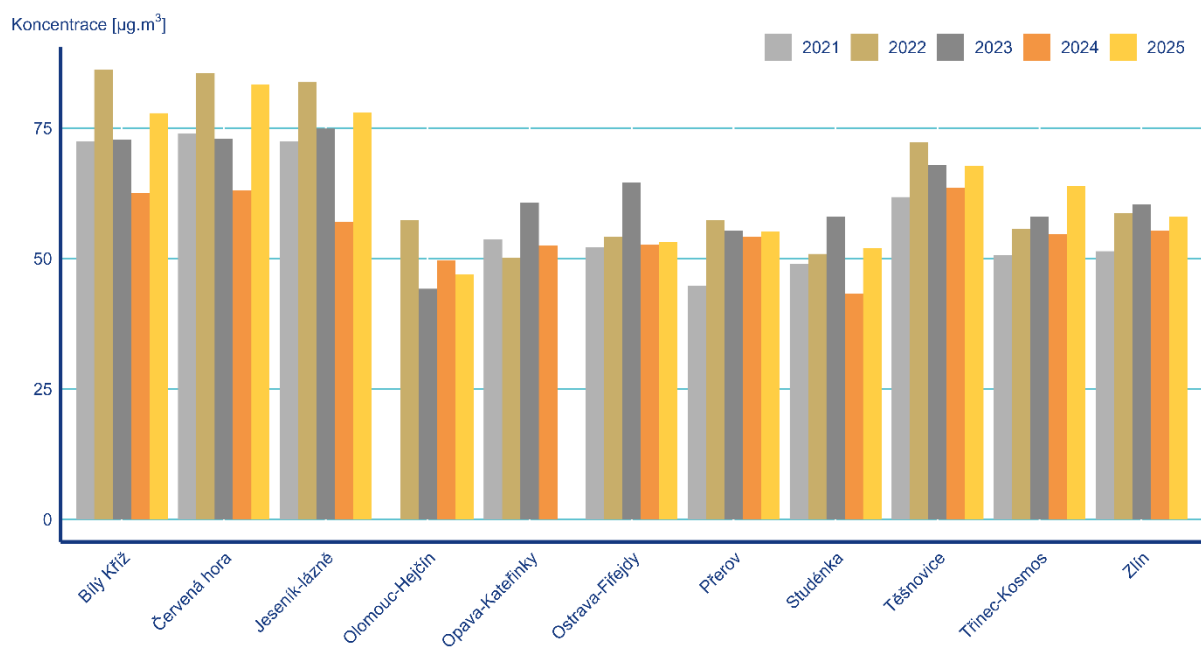
Obr. 19 Průměrné měsíční koncentrace PM_{10} , březen 2021–2025



Obr. 20 Průměrné měsíční koncentrace $\text{PM}_{2.5}$, březen 2021–2025



Obr. 21 Průměrné měsíční koncentrace NO_2 , březen 2021–2025



Obr. 22 Průměrné měsíční koncentrace O_3 , březen 2021–2025

Měření kvality ovzduší ve spolupráci se Zdravotním ústavem a Moravskoslezským krajem v roce 2024

V roce 2024 probíhalo měření kvality ovzduší dotované z rozpočtu Moravskoslezského kraje a ve spolupráci se Zdravotním ústavem se sídlem v Ostravě v severní části Jesenické oblasti Moravskoslezského kraje. Jednalo se o lokality Heřmanovice OÚ, Světlá Hora-centrum, Malá Morávka, Vrbno pod Pradědem a Zátor (Obrázek 1). Výběr i rozmístění stanic proběhly na základě jednání ve spolupráci mezi ČHMÚ, Zdravotním ústavem se sídlem v Ostravě a zástupci Moravskoslezského kraje. Ve dvou lokalitách (Heřmanovice OÚ, Světlá Hora-centrum) bylo navíc provedeno detailní hodnocení příčin znečištění ovzduší pomocí matematického modelu PMF.

Imisní koncentrace v průběhu roku 2024 v žádné z pěti hodnocených lokalit nepřekročily platné imisní limity pro suspendované částice (Obrázek 2 a 3) a nepředpokládáme ani překročení limitů pro kovy. Roční imisní limit pro benzo[*a*]pyren (BaP) byl překročen v Heřmanovicích a v Zátoru. Při porovnání měření v Heřmanovicích v letech 2011 a 2024 byla však průměrná roční koncentrace BaP v roce 2024 výrazně nižší než byla v roce 2011. Hodnotu ročního limitu pro BaP $1 \text{ ng}\cdot\text{m}^{-3}$ dosáhly roční koncentrace ve Světlé Hoře a Vrbně pod Pradědem. V Malé Morávce byla roční koncentrace BaP na polovině stanoveného limitu (Obrázek 4).

Z provedené identifikace zdrojů, podobnosti hodnocených lokalit z hlediska přírodních podmínek a využití území vyplývá, že ve všech lokalitách má vysoký podíl na znečištění ovzduší suspendovanými částicemi dálkový přenos znečištění z uhelných elektráren provozovaných severovýchodně až jihovýchodně od České republiky.

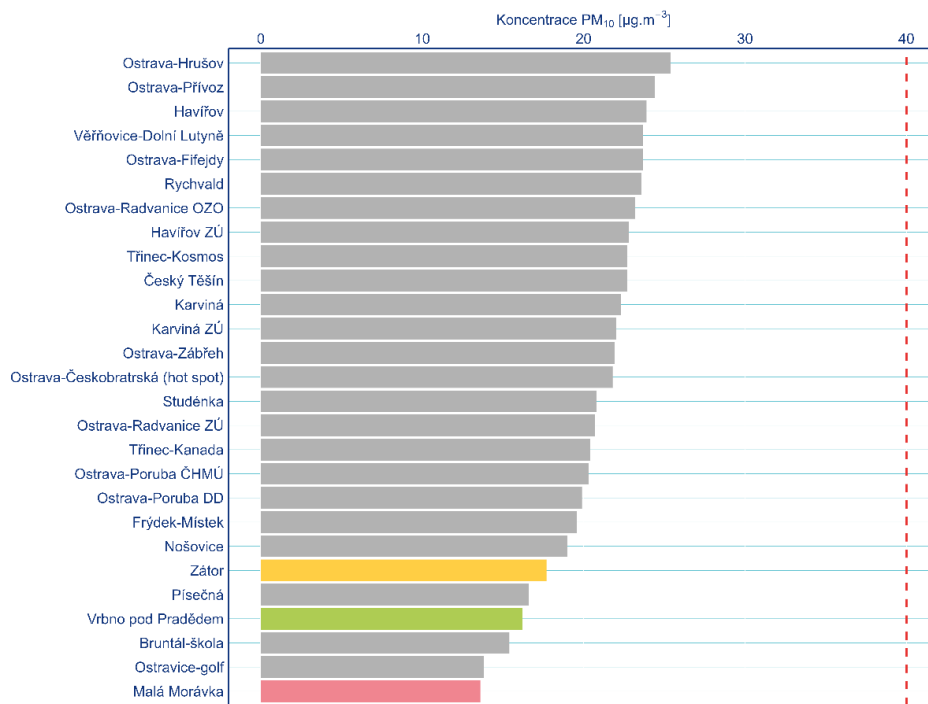
V posuzované oblasti v podhůří Jeseníků existují lokality, ve kterých místní emise z vytápění způsobují vyšší znečištění, než uvedený dálkový přenos. Tato situace byla zjištěna v Heřmanovicích, ale s ohledem na podobné koncentrace benzo[*a*]pyrenu ve všech lokalitách s výjimkou Malé Morávky lze očekávat, že znečištění z vytápění domácností bude velmi významné v celé hodnocené části Bruntálska. V obydlených údolích podobných Heřmanovicím a Zátoru lze vlivem nižší rychlosti větru očekávat ve srovnání s lépe provětrávanými obcemi výrazně horší rozptylové podmínky, které vedou k hromadění znečištění, a tím k výskytu vyšších koncentrací škodlivin v ovzduší, a tedy vyšším dopadům znečištění na zdraví lidí. Význam domácností, jakožto celkově nejvýznamnějšího zdroje znečištění v podhůří Jeseníků, podtrhuje také skutečnost, že k místním emisím je nutné přičíst i koncentraci dusičnanu amonného, který ve velké míře také pochází z vytápění, ale nevzniká lokálně, ale až při přenosu ze vzdálenějších sídel.

Další významné typy znečištění ovzduší byly ve Světlé Hoře i v Heřmanovicích přírodní povahy. Jednalo se především o prašnost vznikající vířením půdních částic a chemickými reakcemi terpenů uvolňovaných jehličnatými lesy. Vliv dopravy byl vyhodnocen jako velmi nízký, a tedy nevýznamný. Žádné průmyslové zdroje s výjimkou výše popsaného vlivu dálkového transportu síranů z východoevropské energetiky nebyly v posuzovaných lokalitách identifikovány.

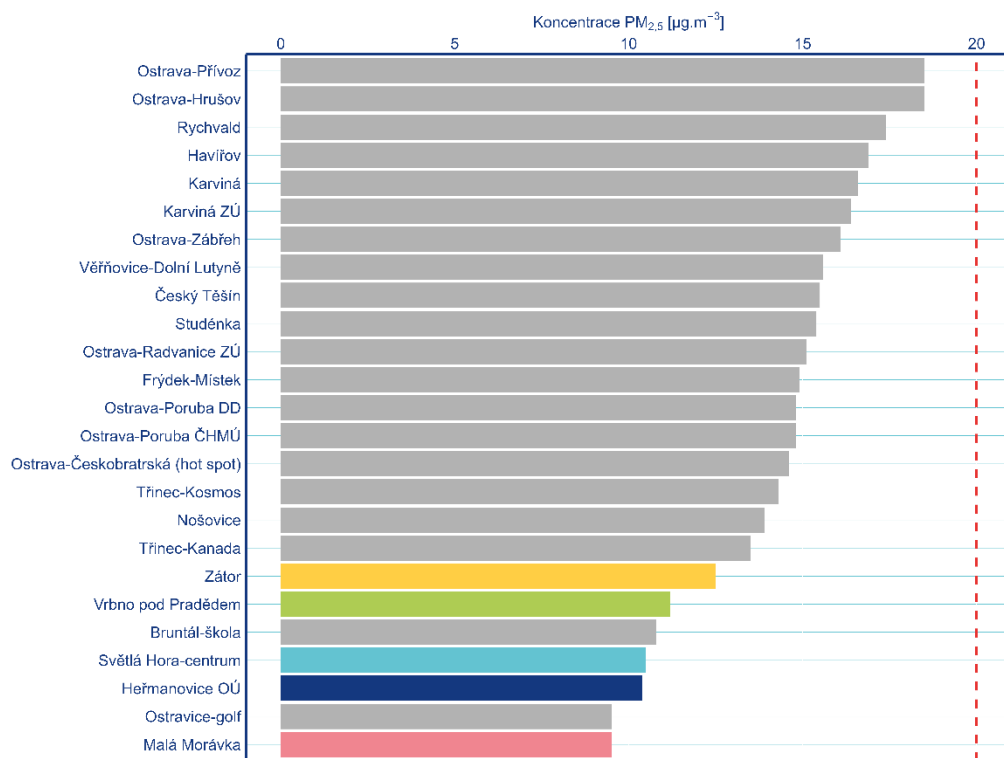
Oproti průměrné úrovni znečištění v Moravskoslezském kraji je kvalita ovzduší v posuzované oblasti celkově lepší. V oblasti vytápění domácností přesto existuje významný prostor pro snížení koncentrací zdravotně závažných polutantů, který je nezbytné vhodnými opatřeními omezit, protože současná úroveň znečištění na většině měřených lokalit překračuje doporučené hodnoty Světové zdravotnické organizace a nevyhovuje imisním limitům, které vejdou v platnost v roce 2030.



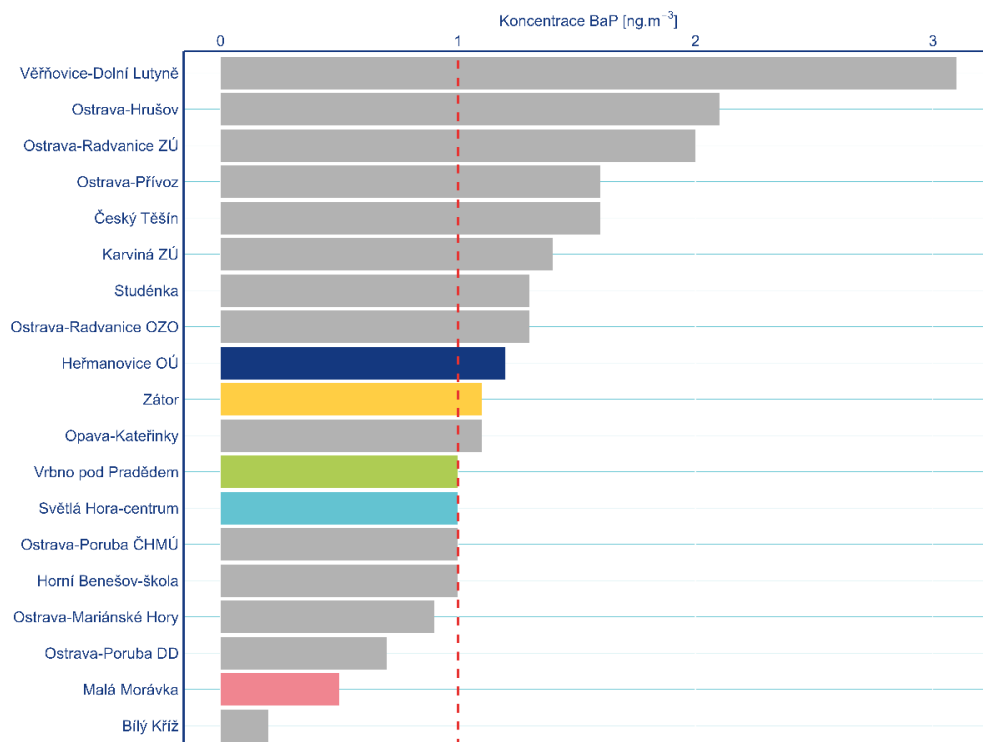
Obr. 1 Poloha stanic



Obr. 2 Průměrné roční koncentrace PM₁₀ na stanicích v Moravskoslezském kraji, 2024



Obr. 3 Průměrné roční koncentrace PM_{2.5} na stanicích v Moravskoslezském kraji, 2024



Obr. 4 Průměrné roční koncentrace BaP na stanicích v Moravskoslezském kraji, 2024